Ricerche Indirette di Dark Matter

Nicola Giglietto INFN-Bari

Osservazioni indirette di Dark Matter



Le possibilità osservative dipendono da molti fattori:

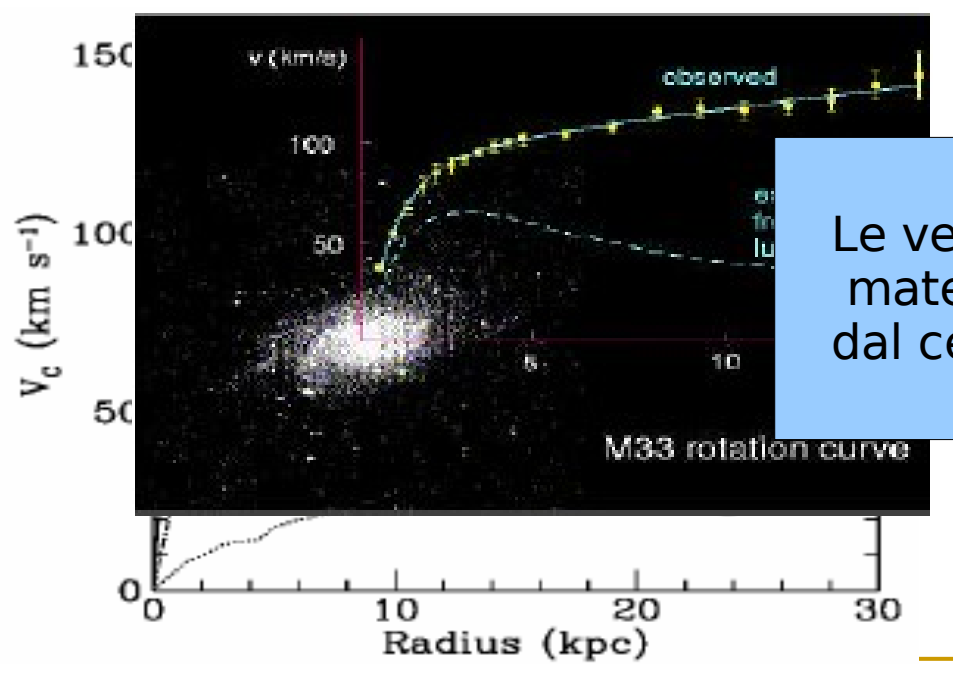
- Tipo di particelle, sezioni d'urto e massa
- Distribuzione della Dark Matter
- Background osservativo

DM: Evidenze sperimentali

Prime evidenze e prime conferme:

-nel 1933 Zwicky studia le velocita' di dispersione delle galassie dell'<u>Ammasso di</u> <u>Coma</u>

-nel 1936 Smith, l'Ammasso della Vergine



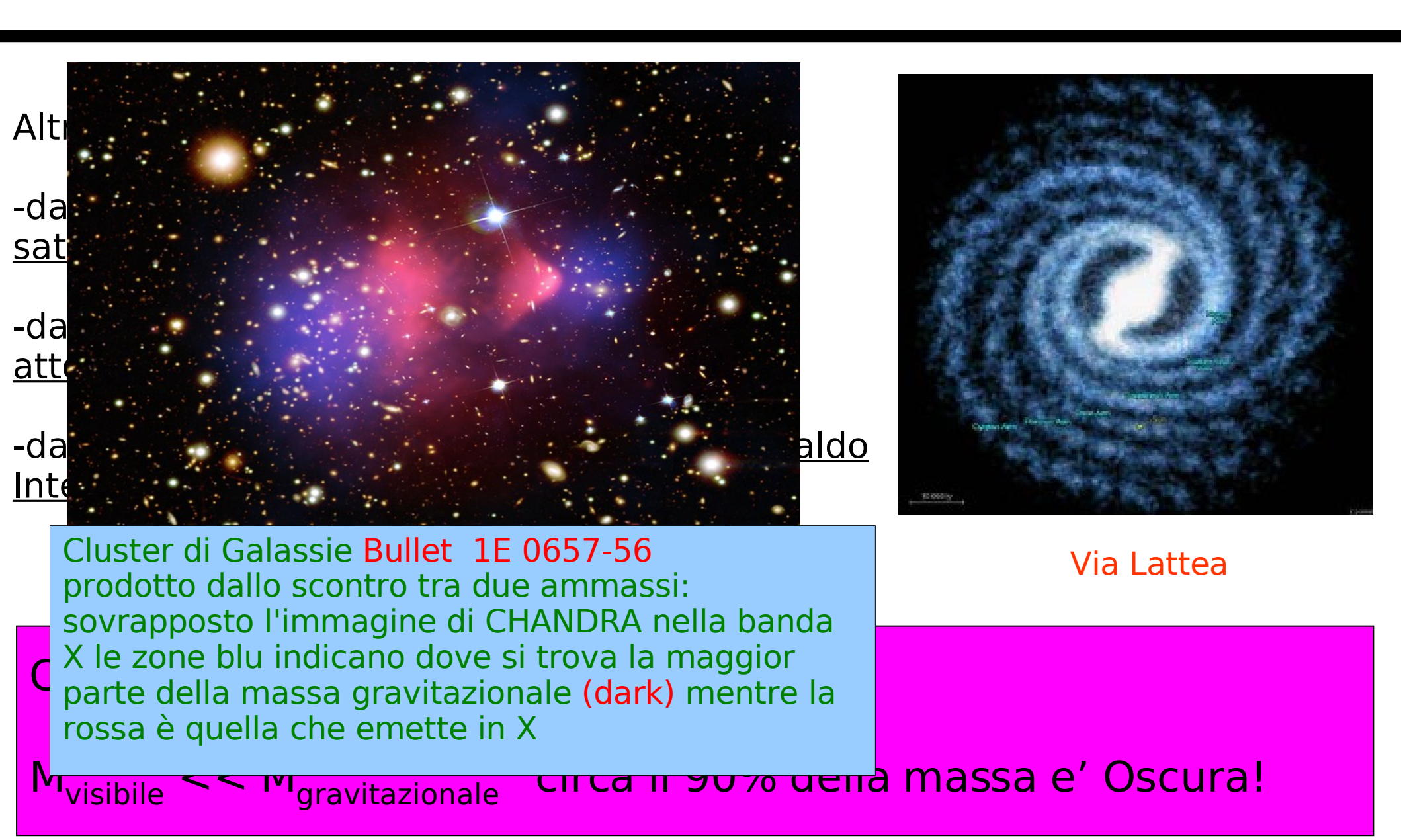
Le velocità sono compatibili con della materia non visibile a più grande distanza dal centro della galassia (alone)

> galassie confrontando <u>la densita' di</u> <u>massa con la distanza dal centro</u> <u>galattico</u>

Curva di Rotazione della Galassia a Spirale NGC 6503

$$v(r) \propto \sqrt{M(r)/r}$$

DM: Evidenze sperimentali (2)



Dark Matter – sommario

Evidence:

- Rapidly moving galaxies in clusters
- Rotation curves of galaxies
- Hot gas in galaxy clusters
- Gravitational lensing
- Stability of rotating spiral galaxies

Types:

- Baryonic vs. non-baryonic
- Cold vs. Hot

Sovrapposizione delle immagini di un ammasso di galassie nel visibile con l'emissione X del gas:

l'interazione gravitazionale è molto più grande di quella visibile nelle due bande



Cosmological Mass-Energy Budget

Component: Fraction:

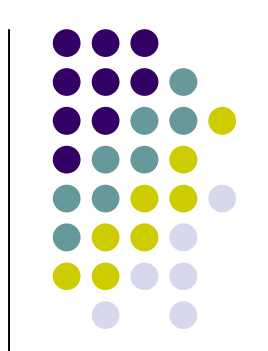
- visible baryons ~ 0.01
- dark baryons ~ 0.04
- non-baryonic dark matter ~ 0.25
- dark energy ~ 0.70
 total ~ 1.00

Components of the universe measured in units of critical density

Cosa cerchiamo?

- Particelle neutre (altrimenti interagiscono elettromagneticamente e sarebbero ben visibili)
- Particelle stabili
- Particelle comunque debolmente interagenti (accoppiamento gravitazionale)
- Non conosciamo la distribuzione di densità della DM e le velocità

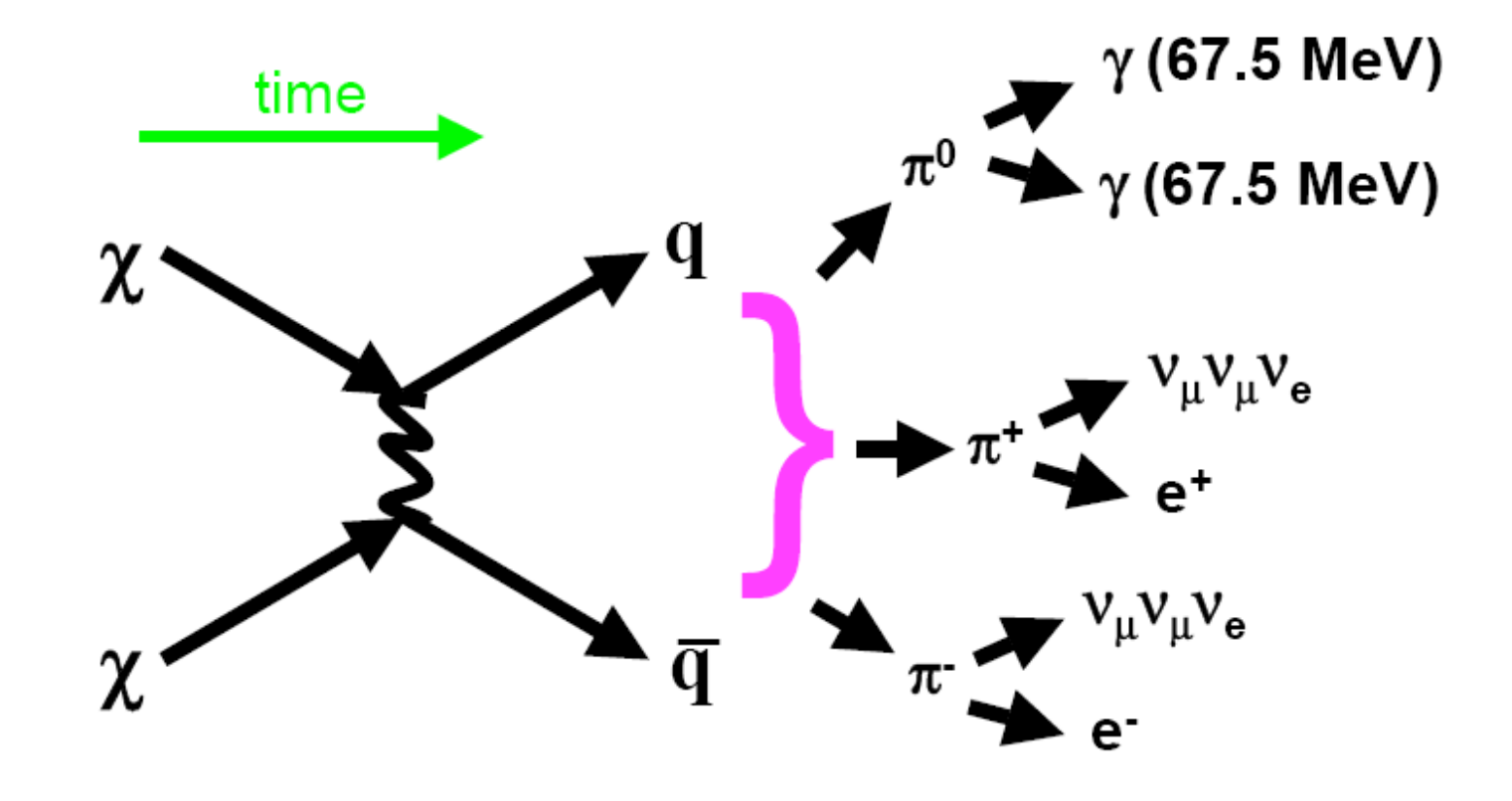
Non-Baryonic Dark Matter Candidates



Particle Type	Production Process	Mass	Observation methods
Axions	Big Bang Non- thermal	~10 ⁻⁵ eV	Direct conversion to radio waves
Neutrinos	Big Bang Thermal	~10 ⁻¹ eV	Analysis of large scale structure
WIMPs	Big Bang Thermal	~10 ² GeV	Direct scattering on nuclei, Indirect observation of annihilation products

Processi di annichilazione wimps (semplificato)

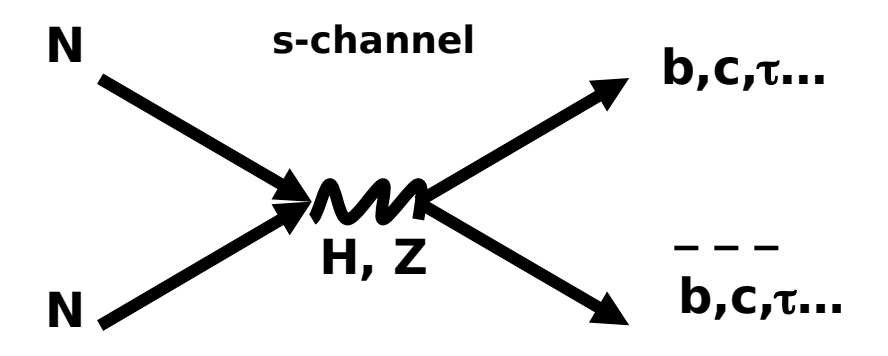


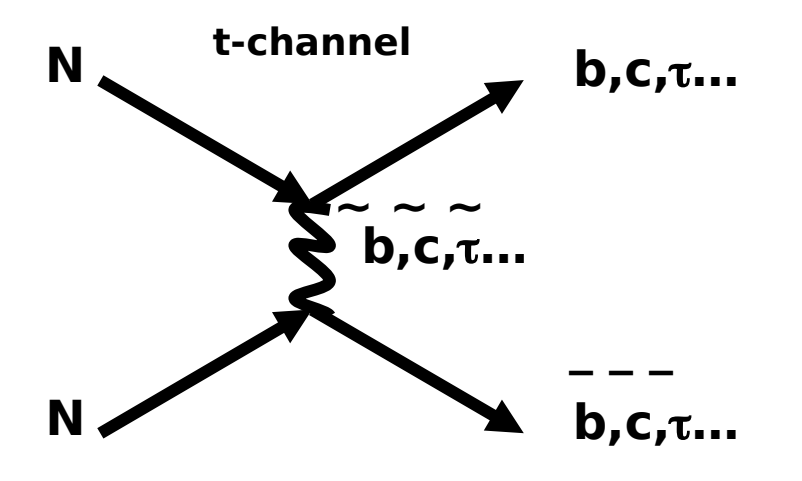


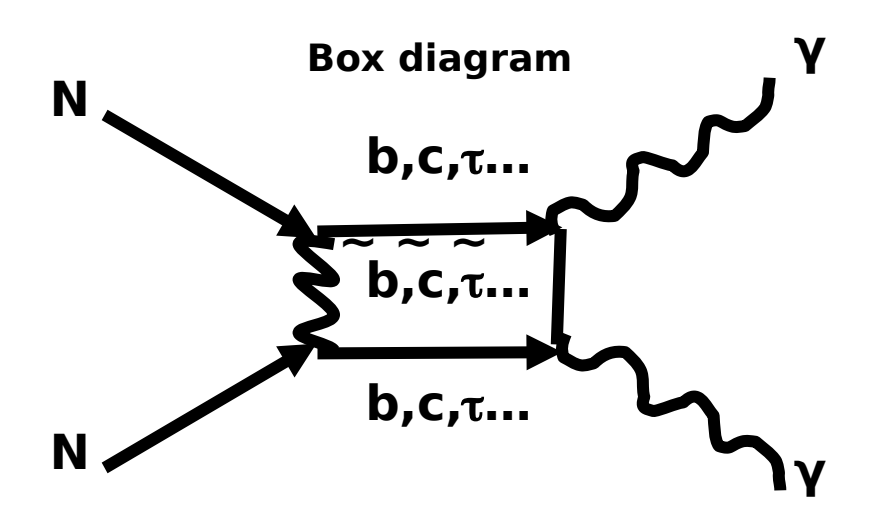
WIMP Annihilation Processes

Tree level:



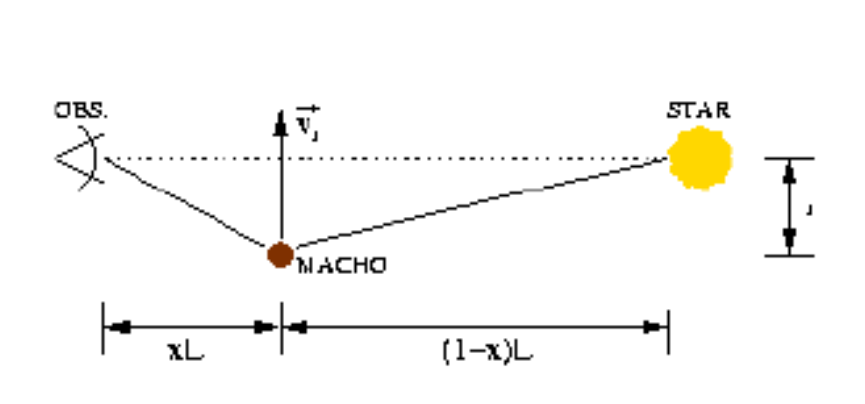




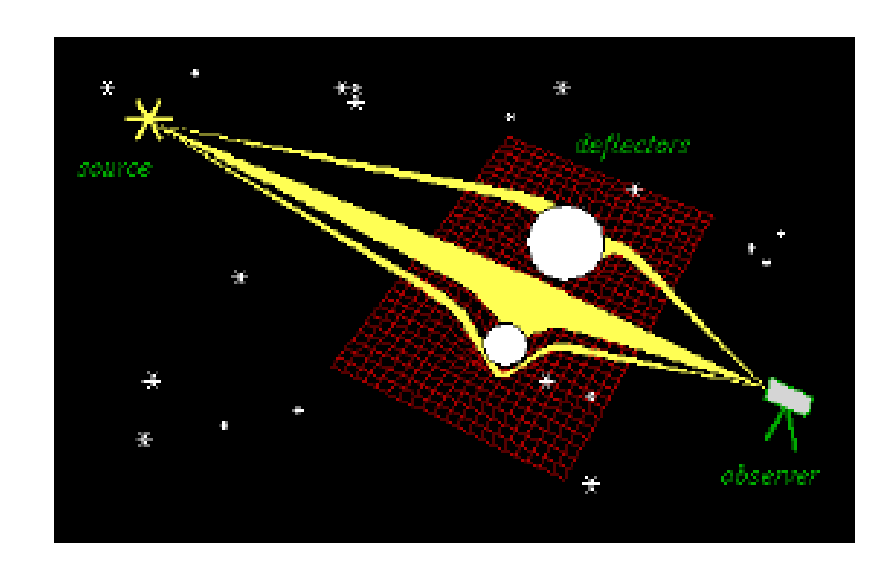


Barionic DM

Barionic DM = Machos (MAssive Compact Halo Object); cioe':
Nane Brune (BD), Pianeti, ecc...) oggetti che hanno una luminosità
al di sotto della sensibilità strumentale
Per cercarli si usa l'effetto lente gravitazionale.



lente gravitazionale

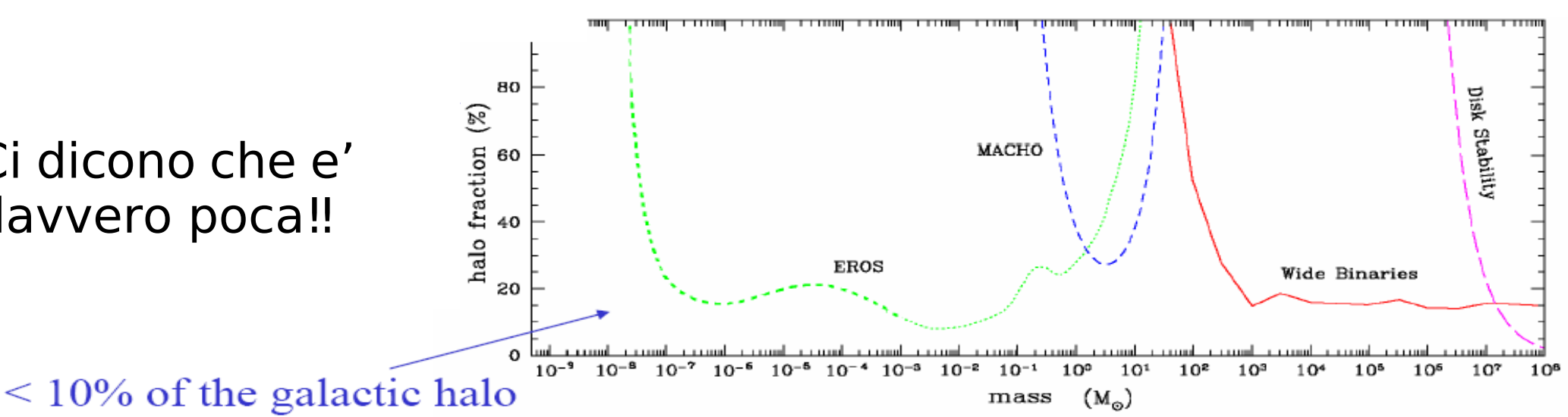


Barionic DM (2)

Diversi esperimenti:

- -EROS (Expérience pour la Recherche d'Objets Sombres)
- -OGLE (Optical Gravitational Lensing Experiment)
- -MACHO Project
- -DUO (Disk Unseen Objects)
- -AGAPE (Andromeda Galaxy and Amplified Pixels Experiment)
- -MOA (MACHO Observations in Astrophysics)
- -PLANET (Probing Lensing Anomalies NETwork)
- -DUO (Disk Unseen Objects)
- -GMAN (Global Microlensing Alert Network)

Ci dicono che e' davvero poca!!



Hot Dark Matter

HDM: particelle relativistiche al tempo del disaccoppiamento.
Neutrini massivi...

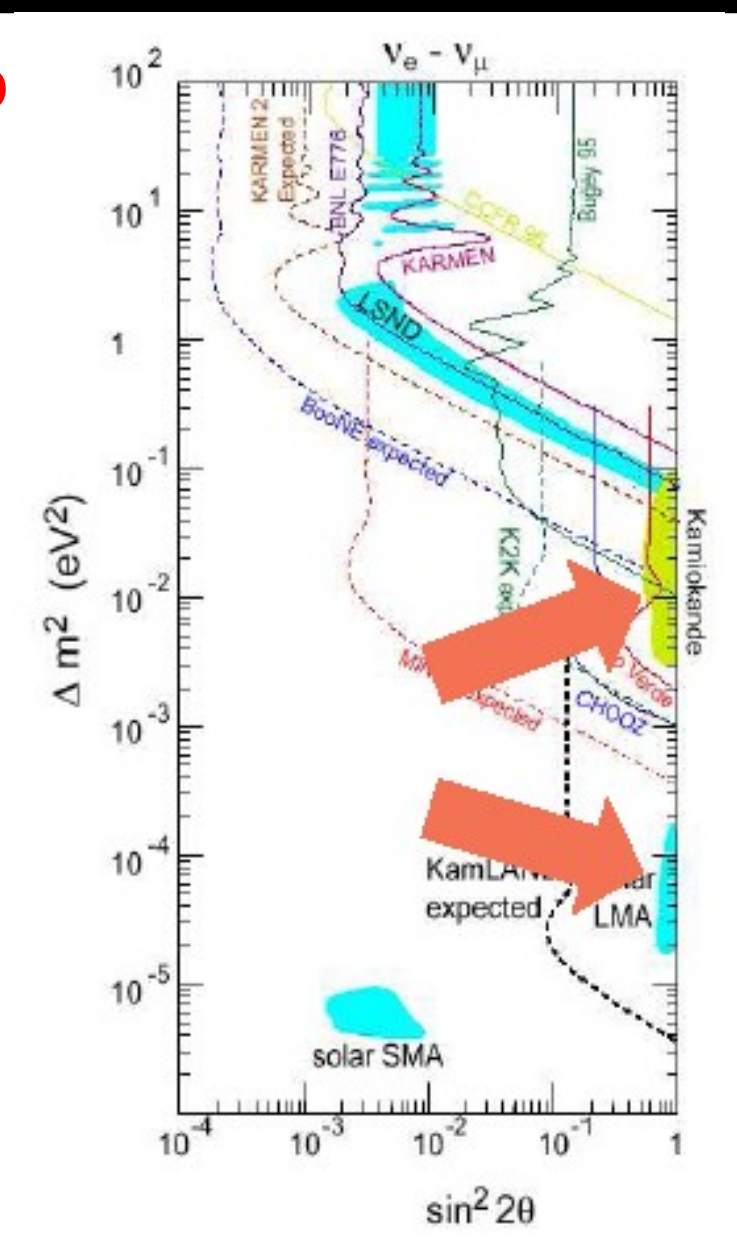
Al massimo:

$$\Omega_{\rm v} \sim 0.1\%$$

Paragonabile al contributo in ν delle Stelle: non risolve il problema.

Anche la Cosmologia mette dei limiti alla percentuale di HDM; per poter avere le strutture piccole che oggi vediamo nell'Universo la HDM non deve essere dominante $\Omega_{\rm NB}$.

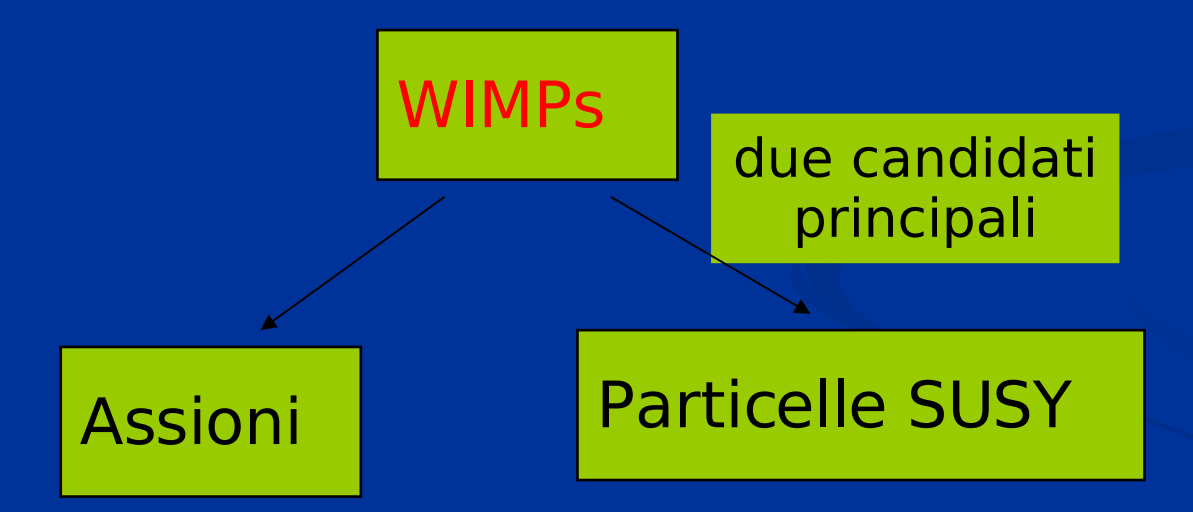




Cold Dark Matter

CDM: particelle NON-relativistiche al tempo del disaccoppiamento.

WIMPs: difficili da rilevare!



Tuttavia esistono altri candidati, per esempio: Sneutrino (SUSY), una quarta famiglia di v, "mirror dark matter", particelle di Kaluza-Klein...

Assioni

Introdotti nel 1977 per cercare di spiegare la violazione di CP in QCD ((pseudo-bosone di Nambu-Goldstone in un nuovo tipo di simmetria U(1), chiamata $U_{PO}(1)$, simmetria di Peccei –Quinn))

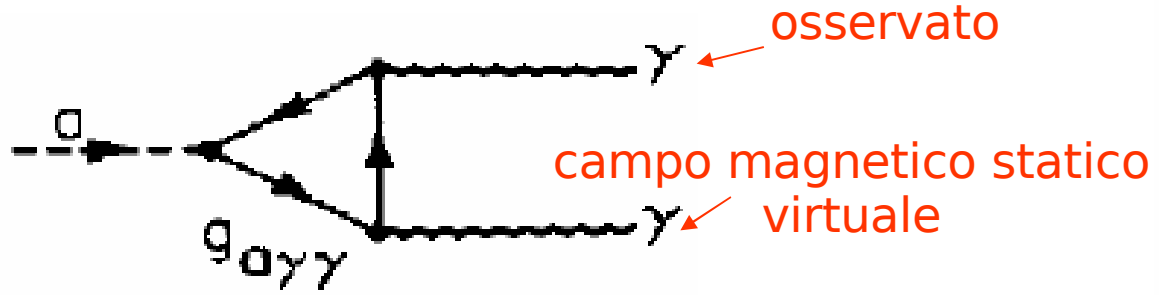
Prodotti in un universo primordiale. Non relativistici! (CDM)

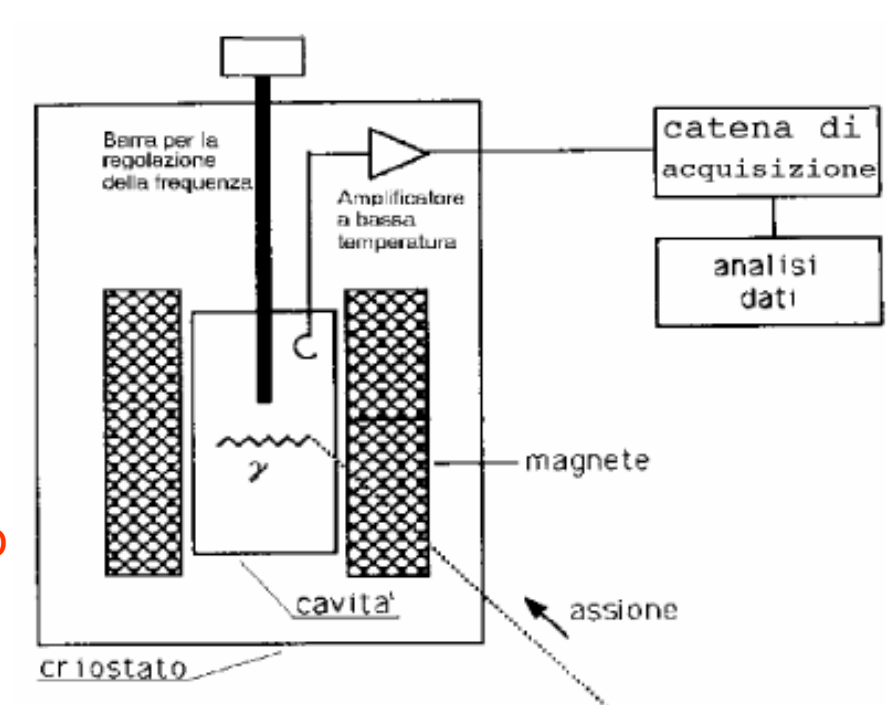
Di massa piccola.

$$10^{-3} \; eV \le m_a \le 10^{-2} \; eV$$

Si rilevano attraverso una cavita' risonante.

Sottoposto ad un forte campo magnetico (diversi Tesla), l'assione dovrebbe decadere in fotoni.

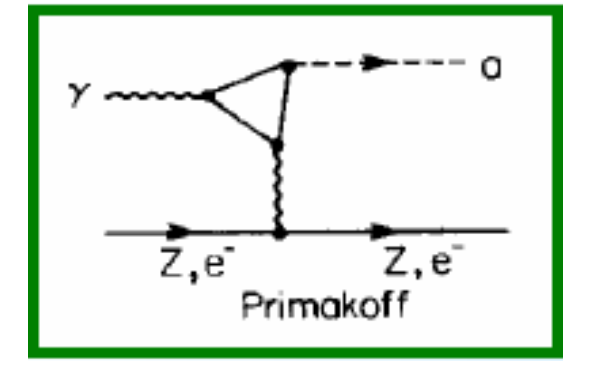




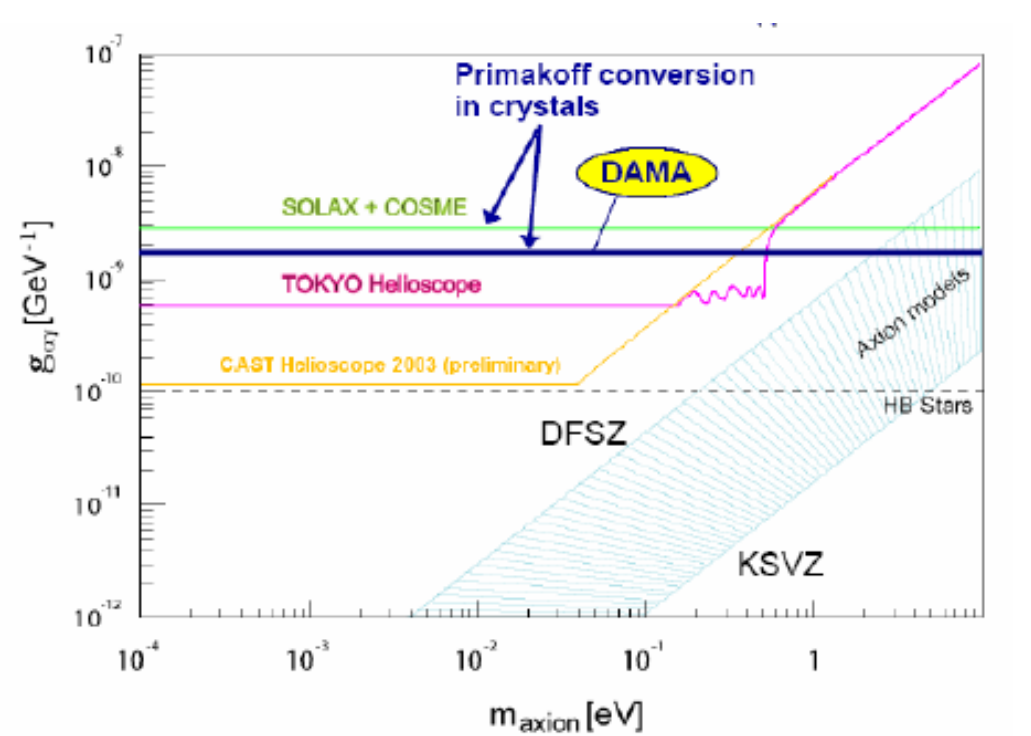
Assioni (2)

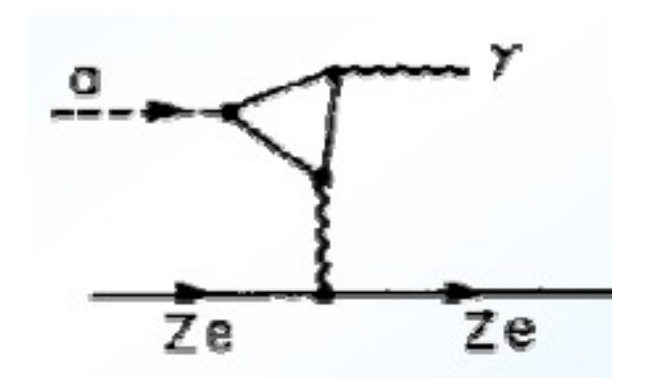
Si potrebbero rilevare <u>assioni solari</u> anche utilizzando la conversione di

Primakoff:



La "ri-conversione" in un rilevatore a cristalli, dovrebbe quindi essere visibile:





questo e', per esempio, l'approccio di DAMA/Nal

SUSY Particles

Oltre allo Sneutrino, i piu' "gettonati" candidati CDM sono particelle SUSY.

Gravitino (SUGRA)? Massa attorno al TeV

In particolare le ricerche si stanno concentrando attorno alle LSSP, ovvero (MSSM) al <u>Neutralino</u>.

$$\chi = a_1 \vec{B} + a_2 \vec{W}^3 + a_3 \vec{H}_1^0 + a_4 \vec{H}_2^0$$
gaugino higgsino

In ogni caso, il nostro candidato deve avere alcune importanti caratteristiche! Deve essere:

- -NEUTRO
- -STABILE ($\tau \sim \text{eta' dell'Universo}$)
- -MASSIVO
- -deve interagire <u>DEBOLMENTE</u>

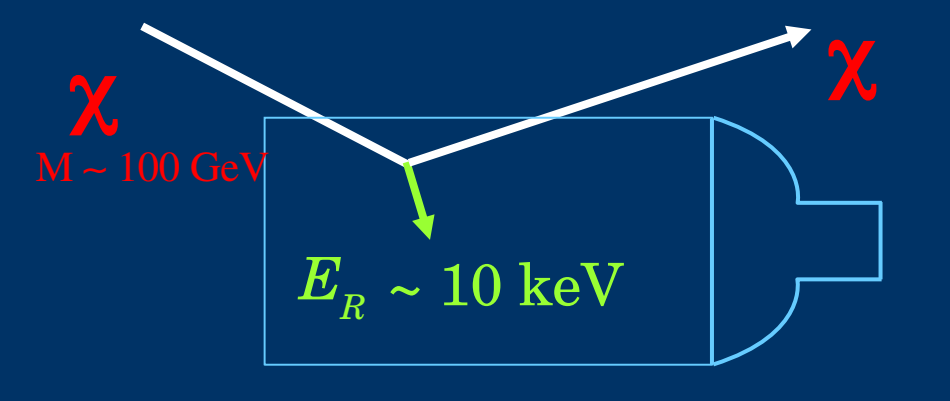
Metodi per cercare la Dark Matter Direct

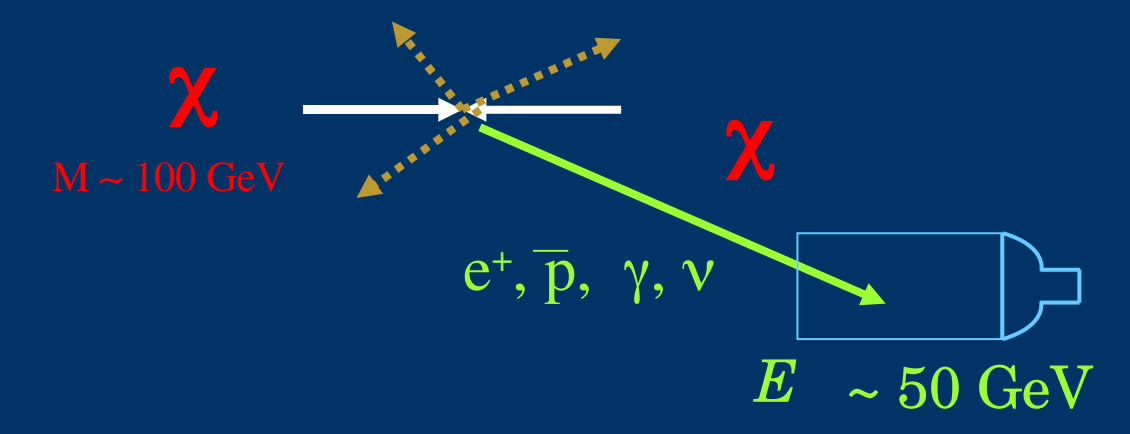
H. ZeV

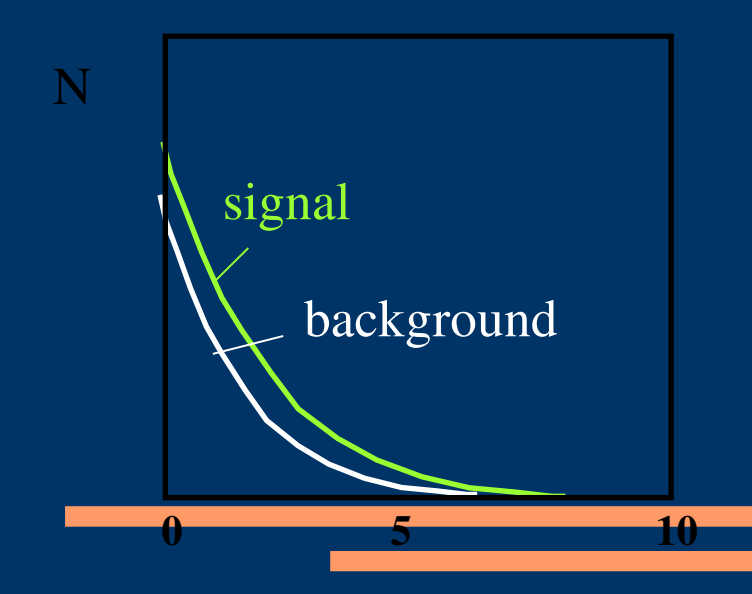
Galactic halo collisions: v ~ 300 km/sec

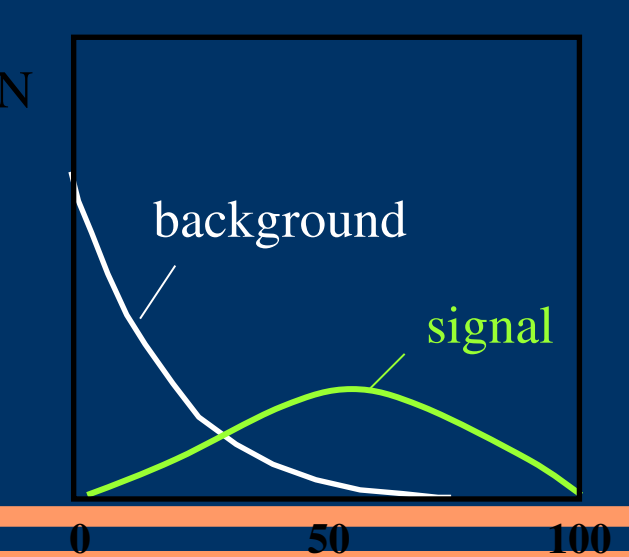
Indirect

Concentrations in massive bodies or in halo annihilations: ~at rest







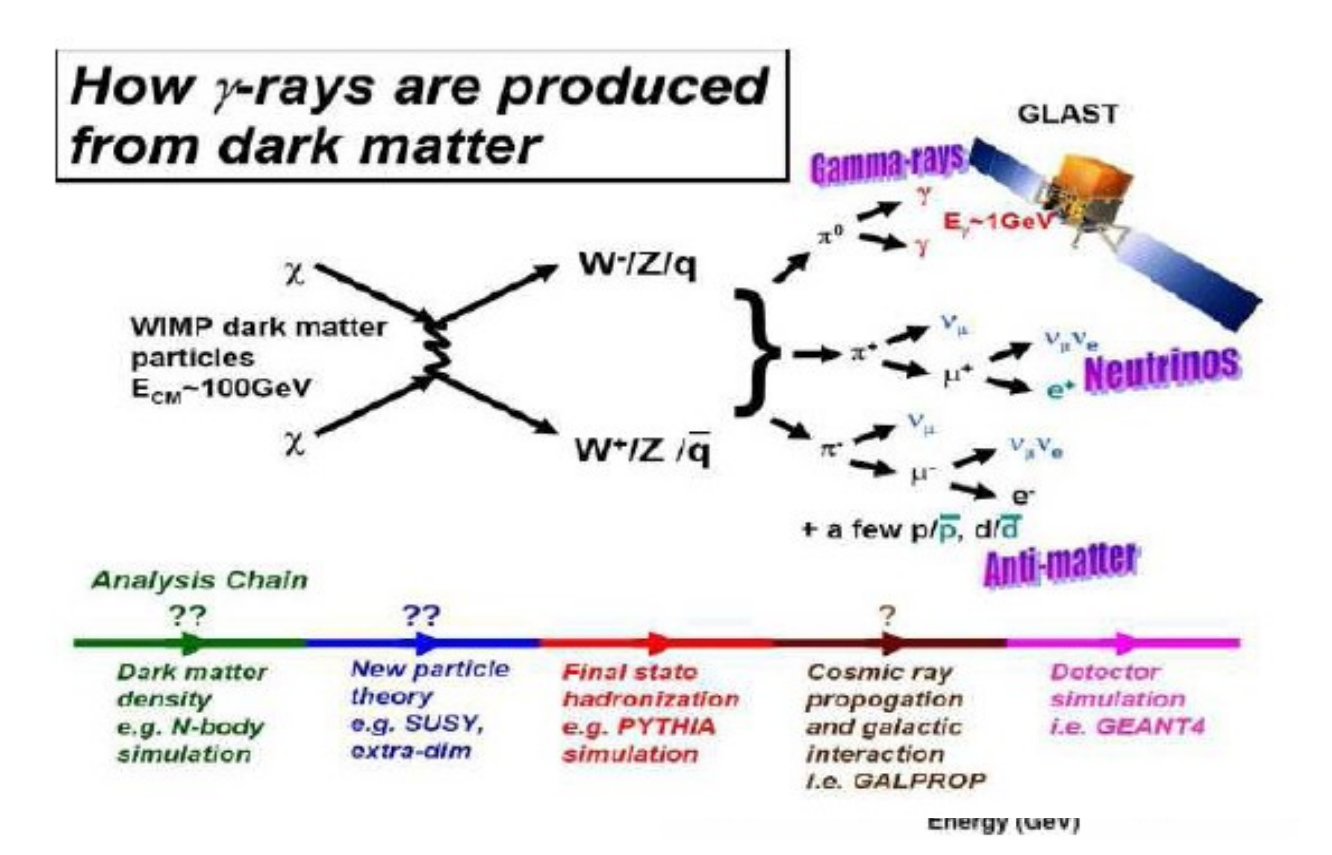


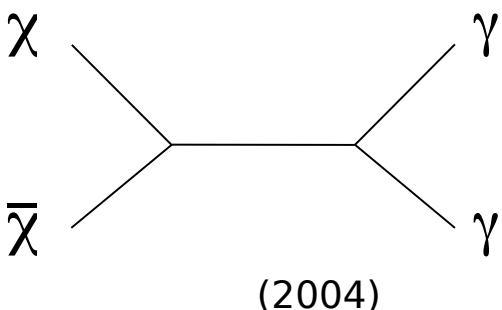
Ricerche indirette

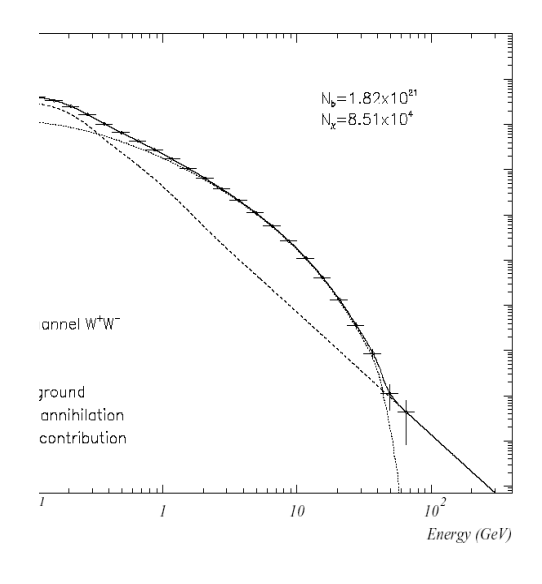
Si prevede che l'annichilazione di neutralino e anti-neutralino ci dia un

segnale γ (o p/anti-p, o e⁻/ e⁺) .

Ovviamente il segnale dipende strettamente dalla massa del neutralino.



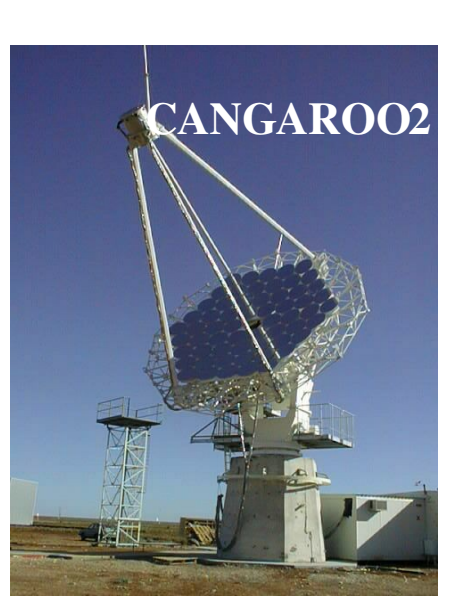




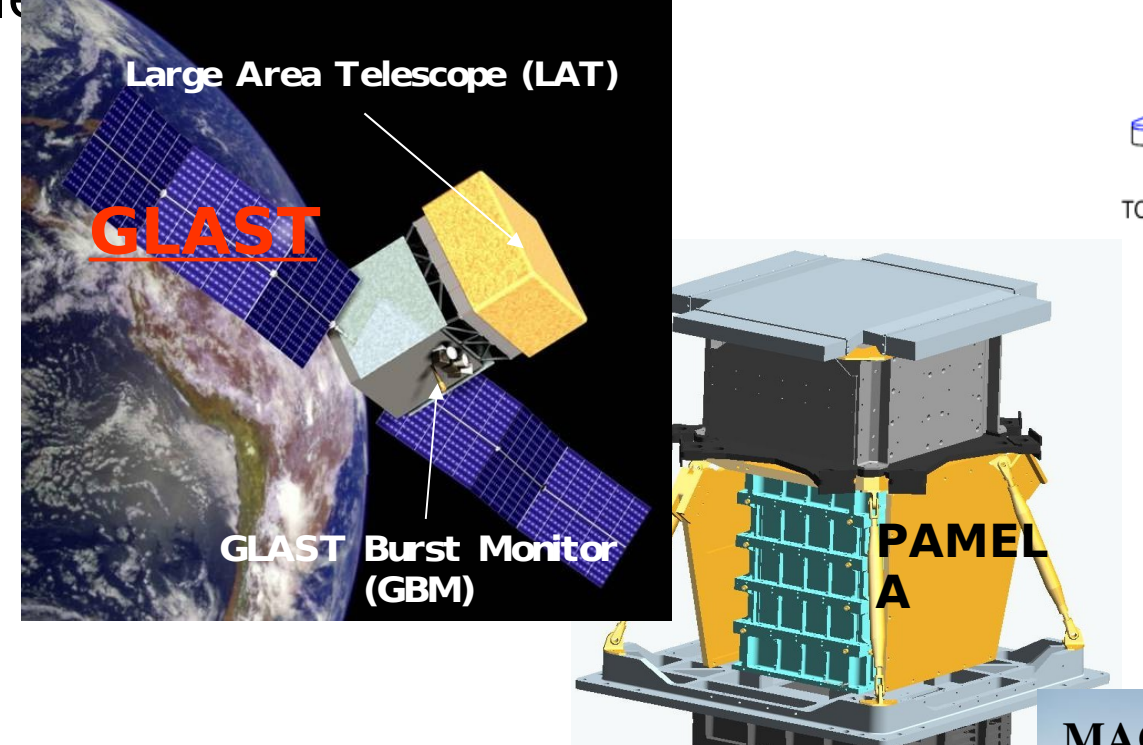
Indirect Detection (2)

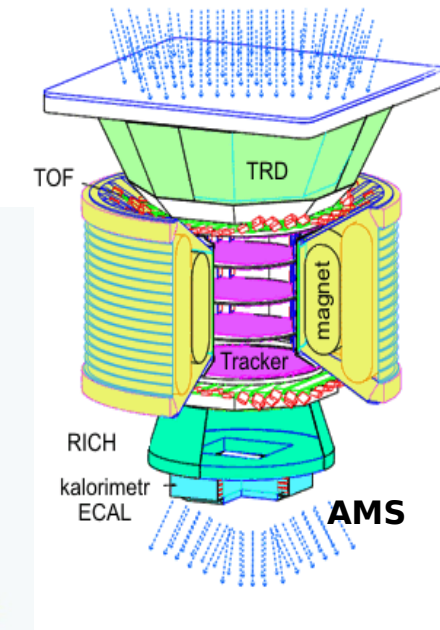
Diversi esperimenti (da terra e su satellite e underground) si

propongono di rilessi



HESS







Rivelazione Diretta di DM

HEAT

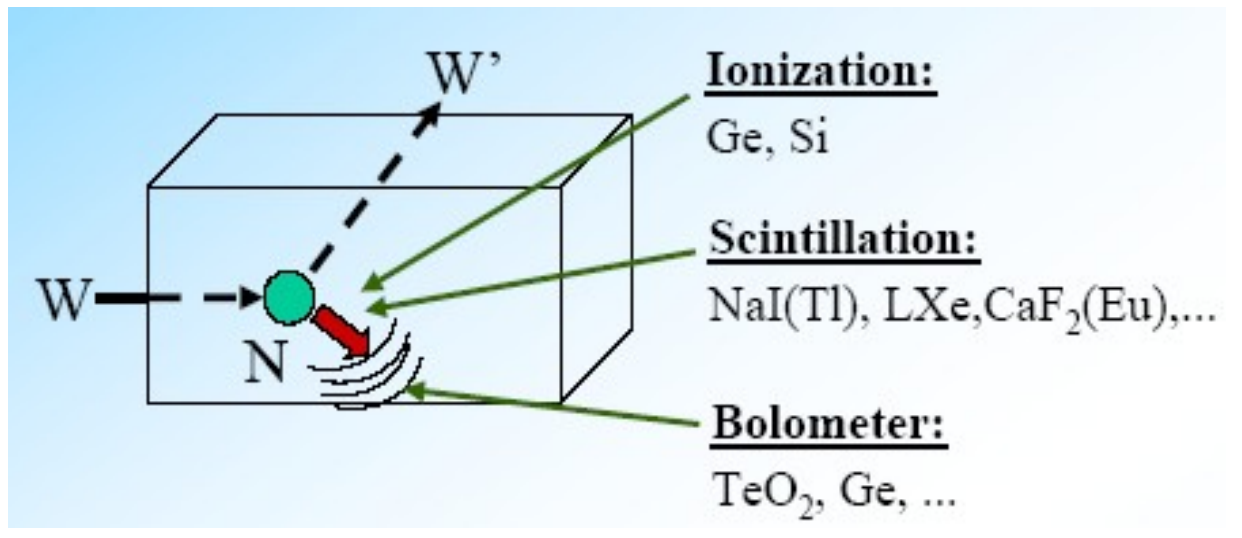
Per la rivelazione diretta si usano diverse tecniche, che possiamo dividere i 3 gruppi:

-Bolometri (o Rivelatori Criogenici)

-Rivelatori a scintillatore

-Rivelatori a ionizzazione

Si cerca il deposito di energia dovuto allo scattering elastico





CHARGE

n, x

e recoil

nuclear recoil

LIGHT

e-, y

Ricerca di dark matter

- La particella supersimmetrica χ più leggera è il principale candidato per la CDM
- È neutra (da cui neutralino) e stabile se la R-parity non è violata
- Modi di annichilazione:
 - $\chi \chi \rightarrow \gamma \gamma$ where $E_{\gamma} = M_{\chi} c^2 (riga)$
 - $\chi \chi \rightarrow Z\gamma$ where $E\gamma = M\chi c^2(1-M_z^2/4M_\chi^2)$
 - $\Box \chi \chi \rightarrow 1$ -1+ oppure h-h+ questi canali producono adroni e quindi π_0 -> fondo continuo
- Gamma-ray lines possible: 30 GeV 10 TeV

Ricerche indirette

Exp. In orbita

- •AGILE (gamma)
- •GLAST (gamma)
- •PAMELA (e+/e-,p+,p-)

Exp. IN SUPERFICIE (gamma)

MAGIC/HESSE

Exp. SOTTERRANEI (neutrini)

- •MACRO (1989-1999)
- AMANDA/ICECUBE
- NEMO/ANTARES/KM3

Ricerche (indirette) di DM underground

- Gli esperimenti sotterranei e sottomarini possono effettuare misure indirette di DM
- Tipicamente parliamo di rivelatori di neutrini
- Il segnale che si cerca è di annichilazione di wimps con neutrini negli stati finali
- Bisogna cercare degli eccessi sopra il livello del fondo dei neutrini atmosferici

MACRO (1989-1999)

- Esperimento per la ricerca di monopoli magnetici con tecniche di rivelatori complementari
- In grado di misurare il flusso di neutrini al LNGS
- Ha cercato un eccesso di neutrini in direzione del SOLE e del centro della Terra



MACRO: Flussi limiti di nucleariti (Strange quark Matter)

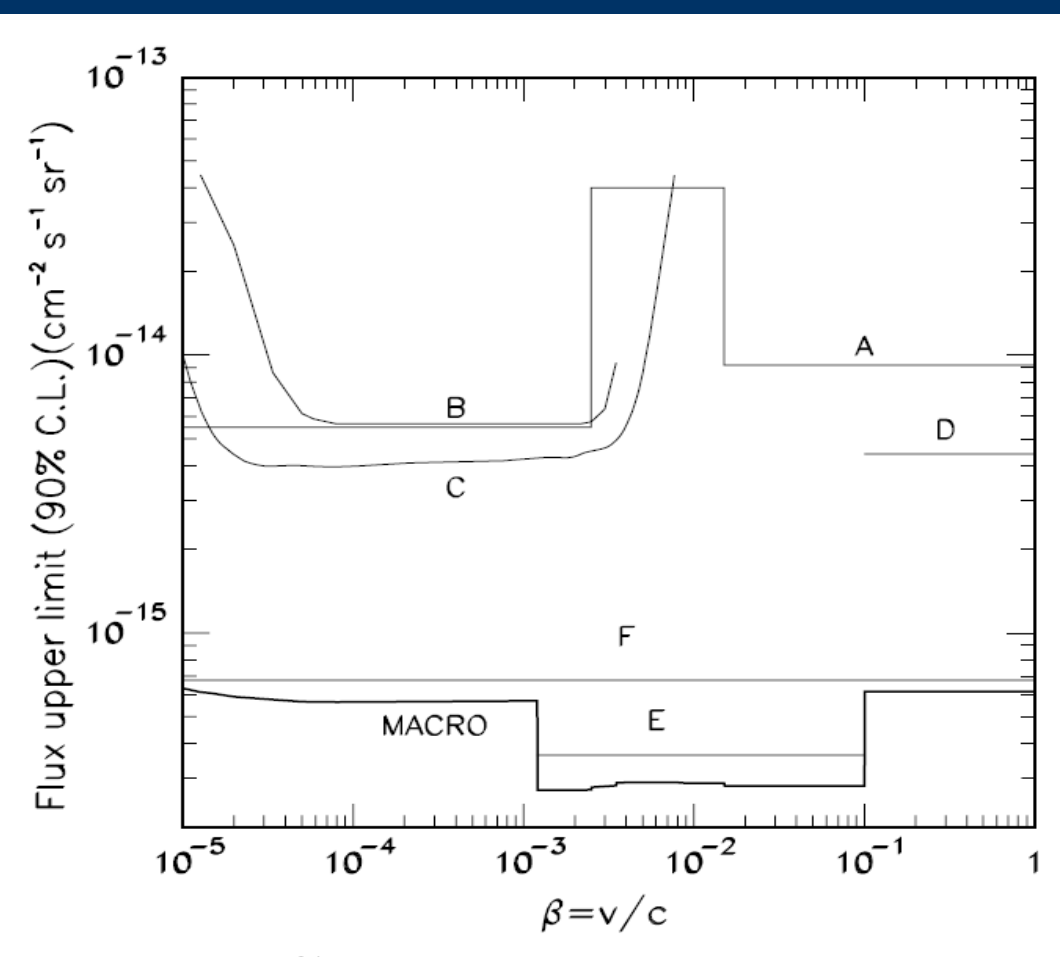


Fig. 2. The 90% C.L. upper limits for an isotropic flux of nuclearites obtained using the liquid scintillator (curves A - E) and the CR39 nuclear track (curve F) subdetectors; the bold line is the present MACRO global limit

MACRO flussi limite WIMPS

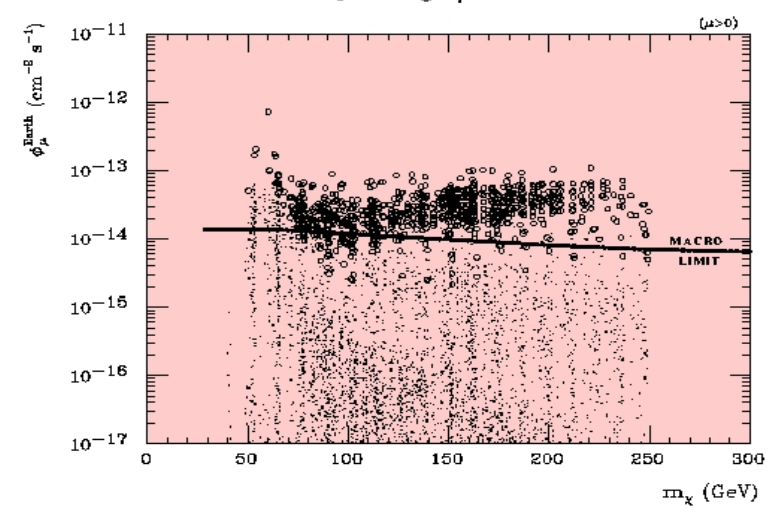
Ref: hep-ex/9812020

M.G., T.M., January 16, 1999

SEARCH FOR WIMPS FROM THE EARTH CORE

WIMPs are Weakly Interacting Massive Particles which could be Dark Matter candidates. A WIMP candidate is the lowest mass neutralino $\tilde{\chi}^0$ (a supersymmetric neutral mixture of the SUSY partners of the photon, the Z^0 and Higgs bosons).

Dark Matter WIMPs could be intercepted by the Earth, slow down by interactions with atomic nuclei, concentrate in the earth core and annihilate into hadrons yielding ν_{μ} of multi–GeV.



MACRO searches for WIMPs studying upgoing μ produced by ν_{μ} from earth center which interact in the rock below the detector. No excess above background has been observed.

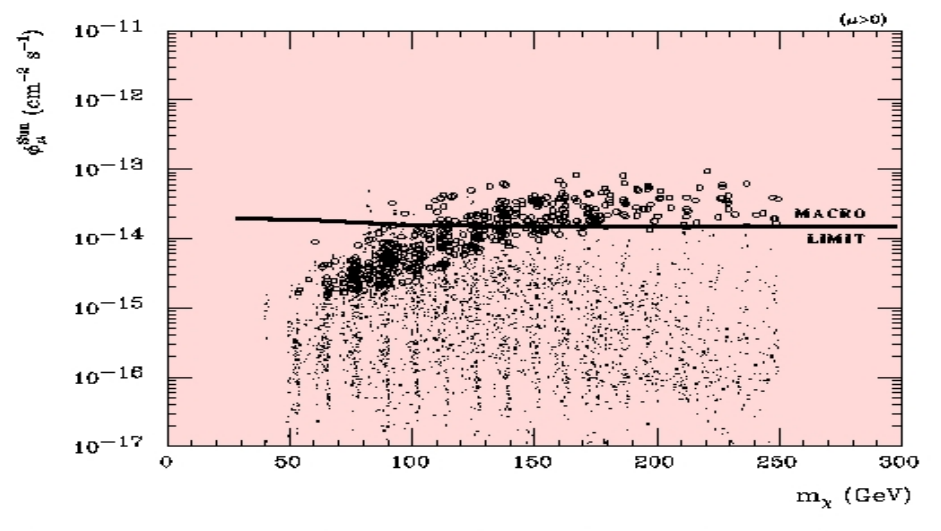
The MACRO upper flux limit, of $\sim 10^{-14}~\rm cm^{-2}s^{-1}$, excludes a large fraction of the parameters of supersymmetric models.

Ref: hep-ex/9812020

M.G., T.M., January 16, 1999

SEARCH FOR WIMPS FROM THE SUN

WIMPs intercepted by the Sun interact with solar atomic nuclei, slow down and concentrate in the sun core. When the concentration is high, annihilations WIMP-ANTIWIMP occur yielding ν_{μ} . We thus look for multi-GeV ν_{μ} coming from the Sun.



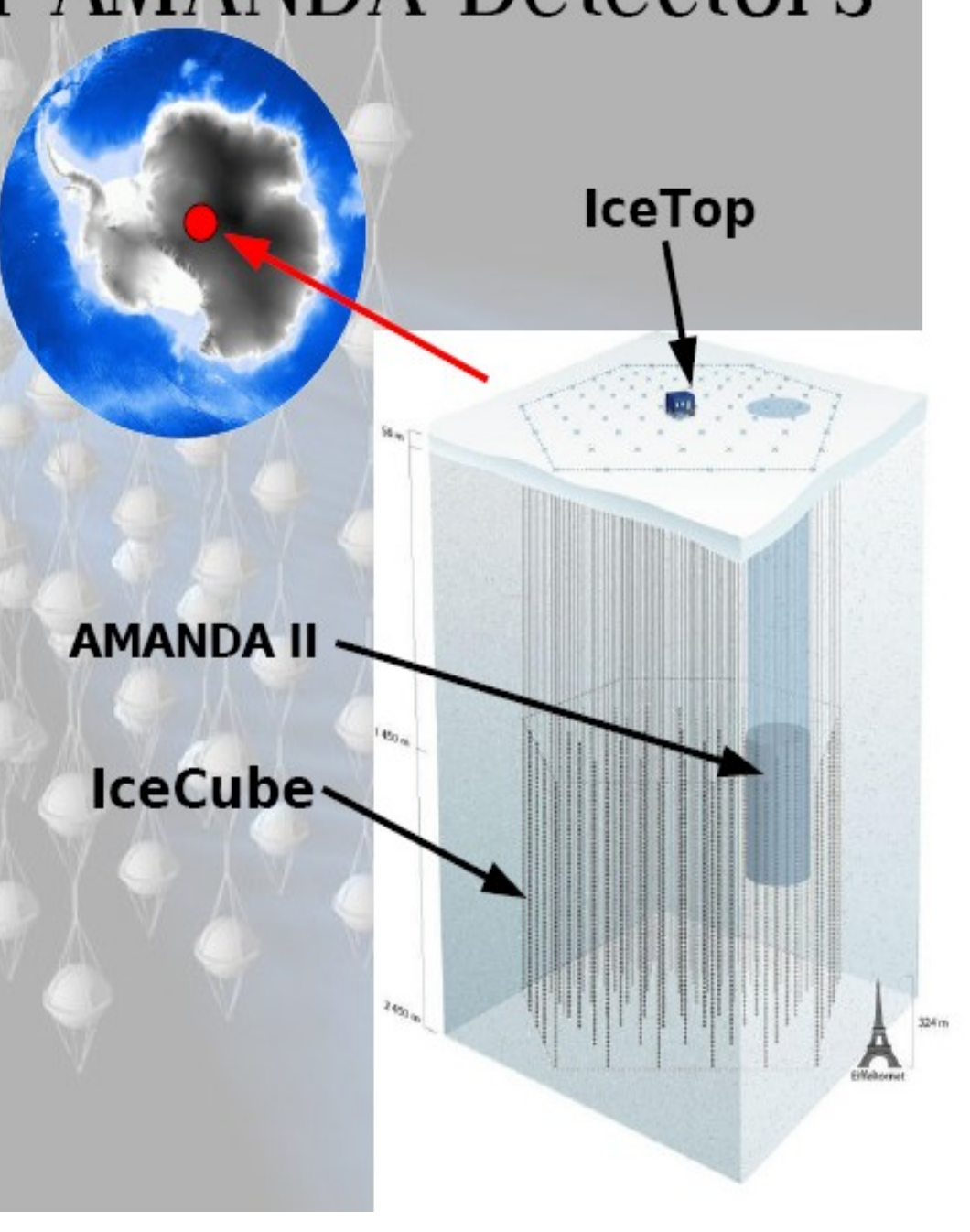
No excess above the general neutrino background has been observed. MACRO estabilishes a flux limit of $\sim 2 \cdot 10^{-14} \; \rm cm^{-2} s^{-1}$ (solid line in the figure). This limit excludes an important fraction of the parameters of various supersymmetric models.

The IceCube observatory

AMANDA in presa dati da 7 anni **IceCube** Amundsen-Scott South Pole Station

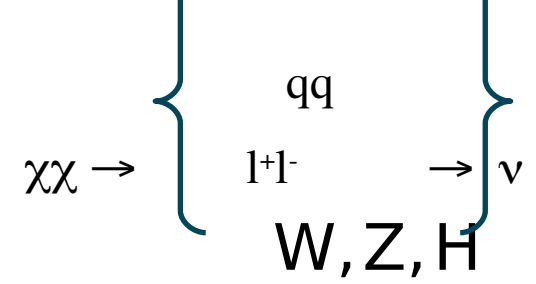
The IceCube and AMANDA Detectors

- AMANDA II (c. 2000)
 - 19 Strings, 677 OMs
 - Height ~ 500 m
 - Diameter ~ 200 m
- IceCube (c. 20ll)
 - 80 Strings, 4800 DOMs
 - Height ~ 1000 m
 - Diameter ~ 1000 m
- IceTop (c. 20ll)
 - 80 Stations, 320 DOMs
 - 2 Tanks x Station



Neutralino signals

Neutralino-induced neutrinos

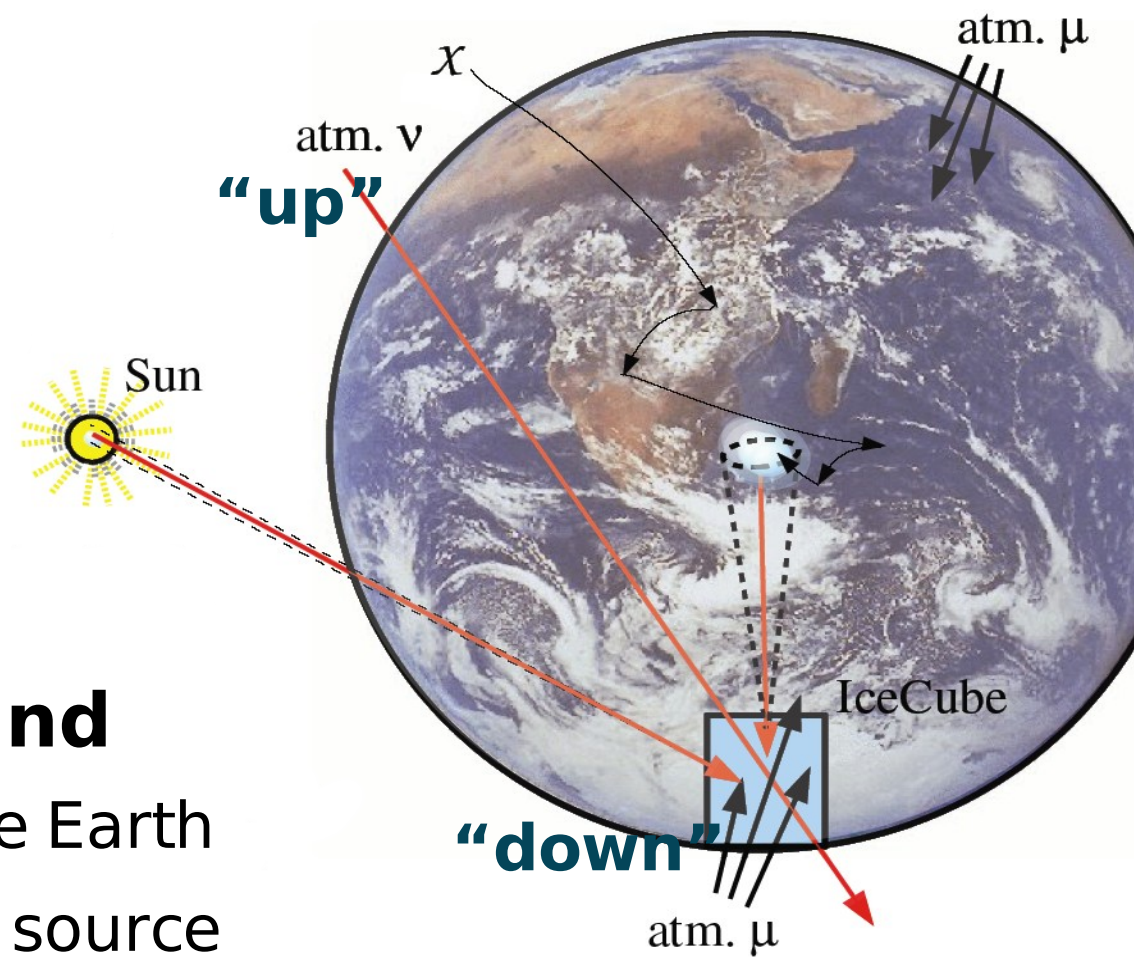




> atm. μ: absorbed by the Earth

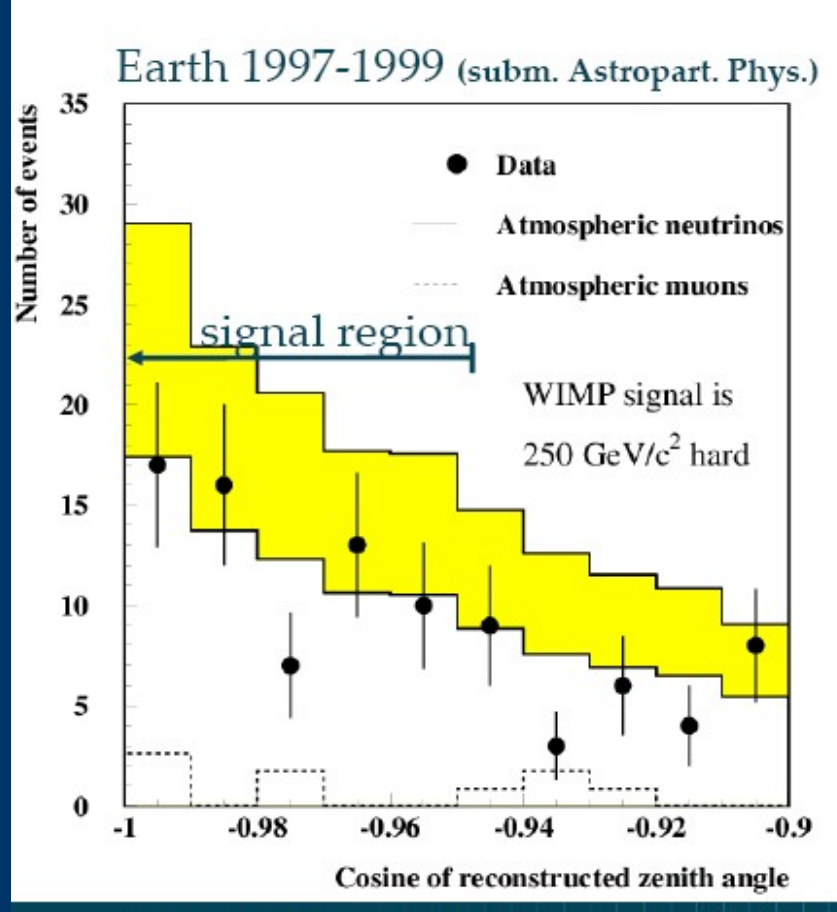
▶ atm. v: compare on/off source

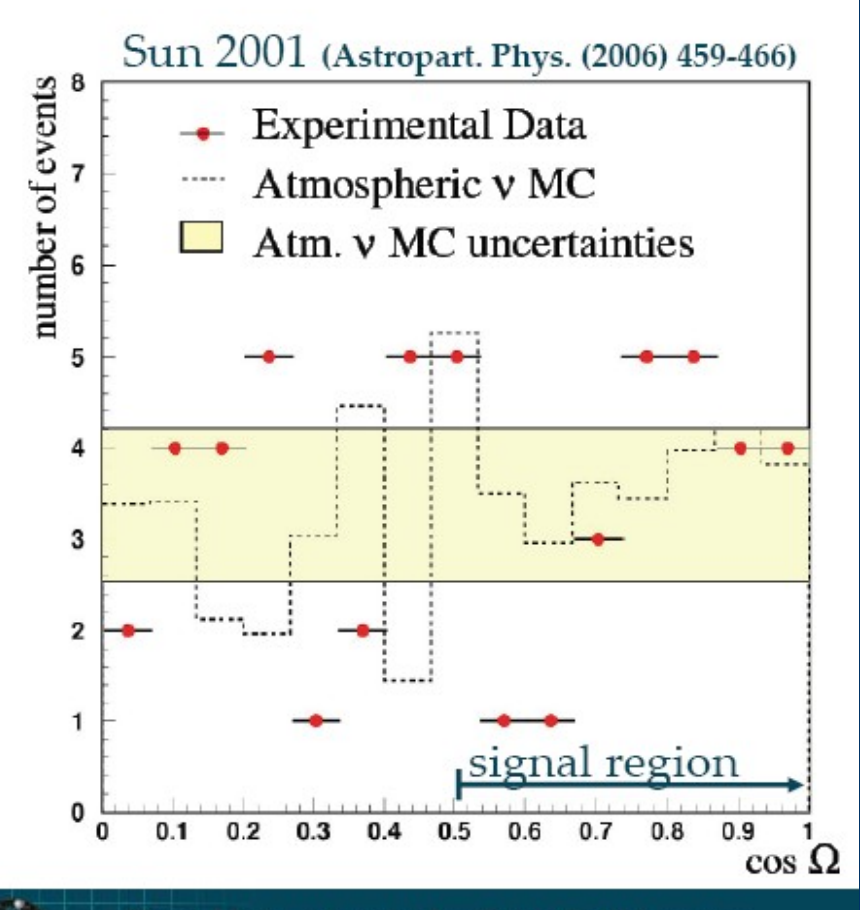
angular regions



Ricerche Indirette rivelatori sottomarini: AMANDA-IceCube

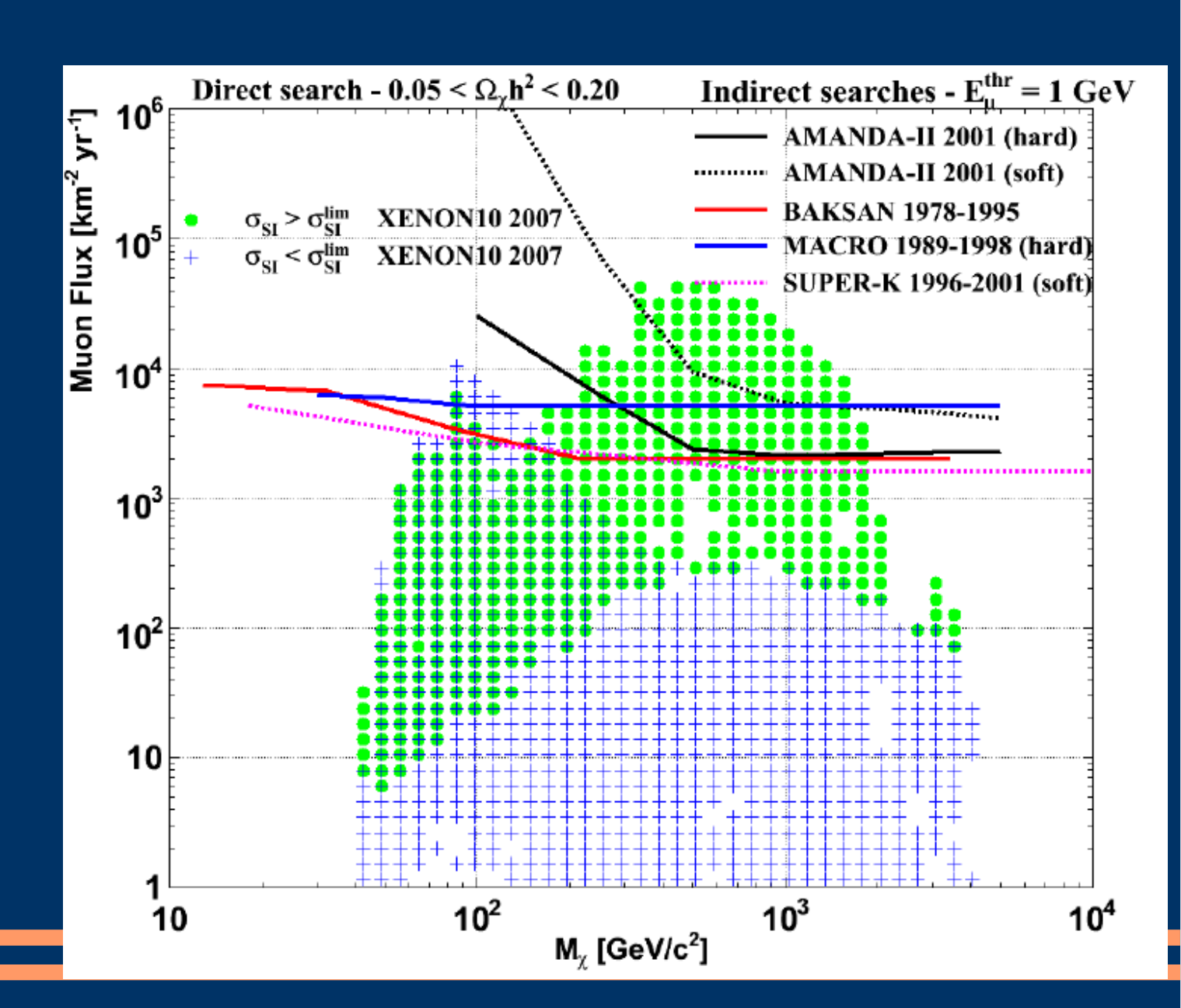
No excess of neutralinoinduced neutrinos





Icecube: Wimps dal Sole

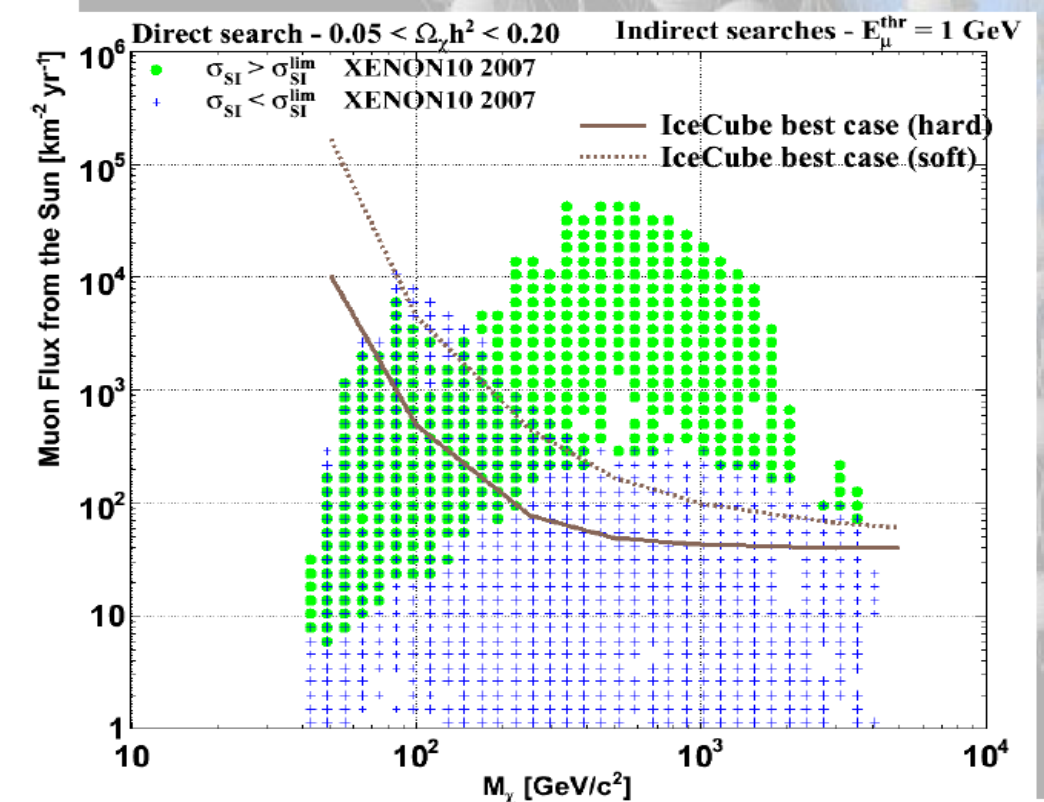
I primi flussi limite sono paragonabili alle misure dirette e ai risultati di MACRO



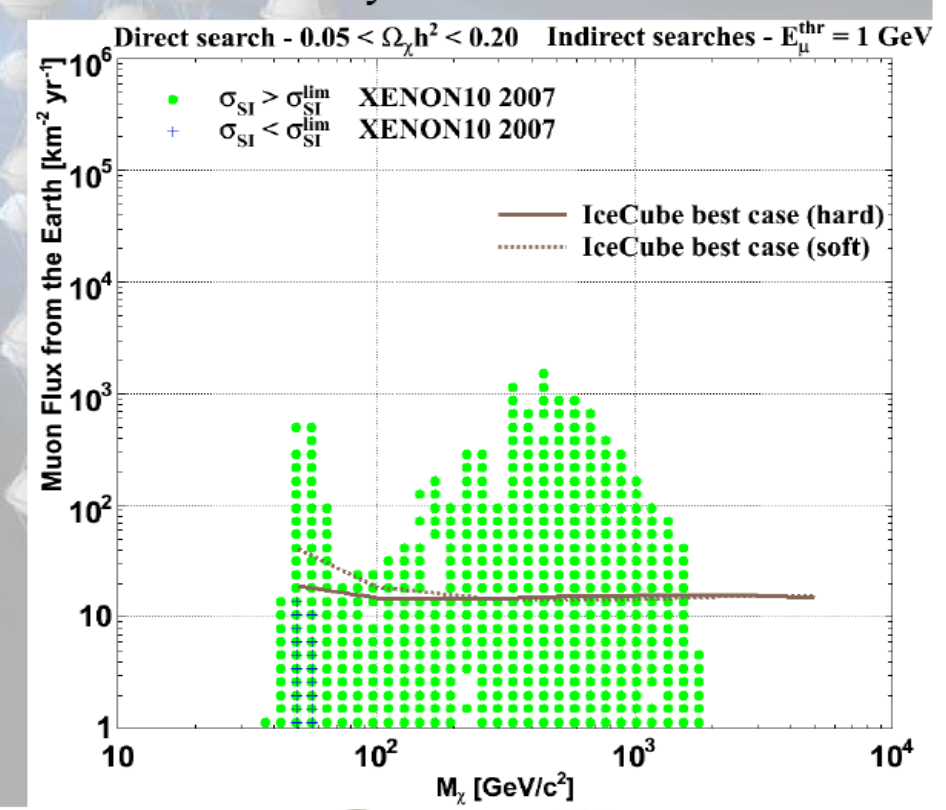
Prospettive ICECUBE

IceCube Prospects (Simulated 10 y of data-taking)

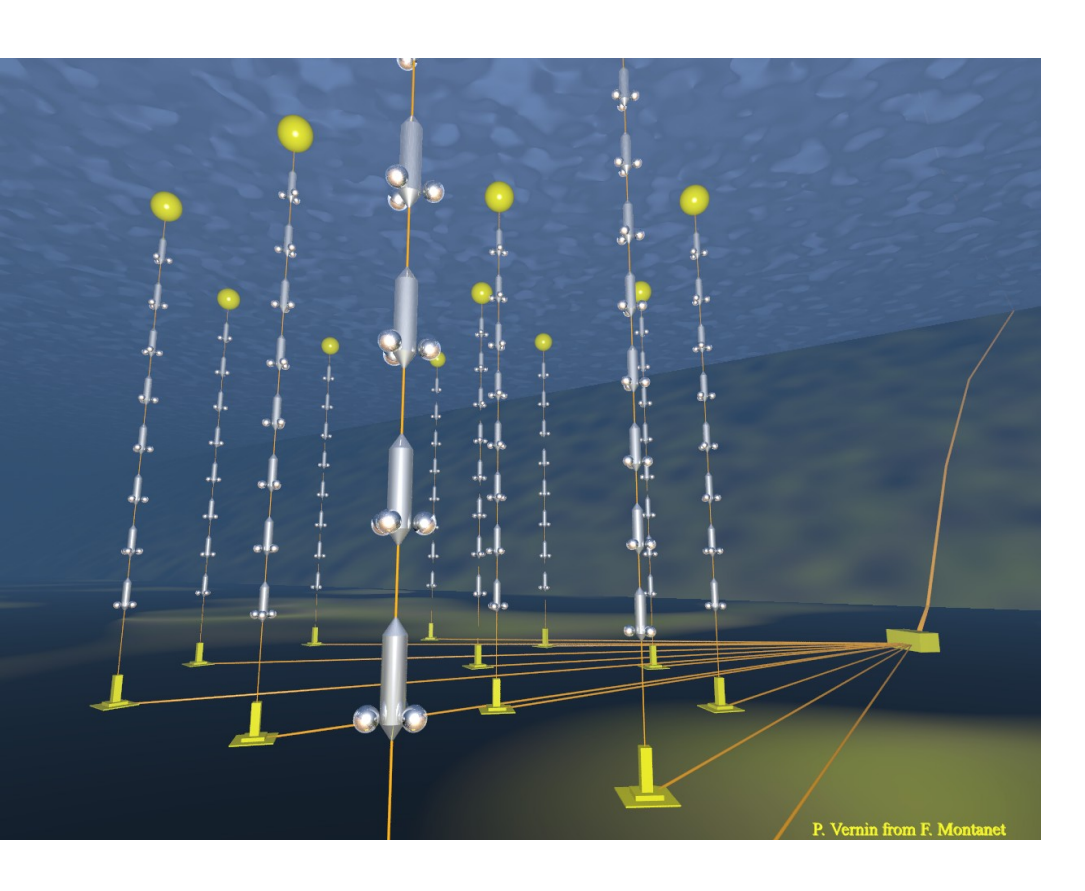
Sun 5 y of live-time



Earth 10 y of live-time



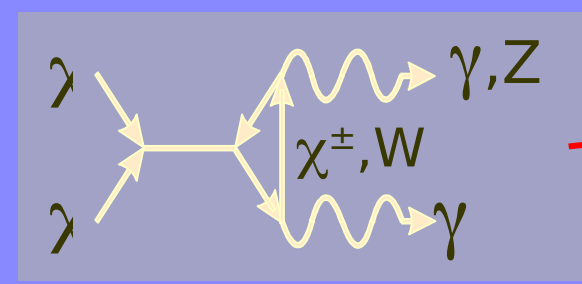
ANTARES Project



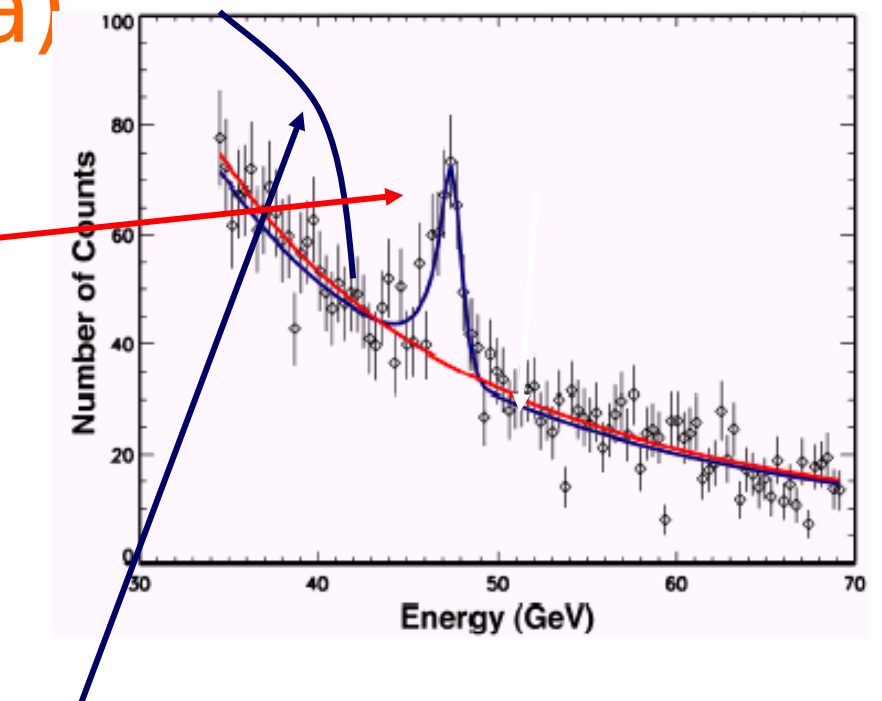


1. Rivelazioni indiretta di annichilazione (osservazione tramite

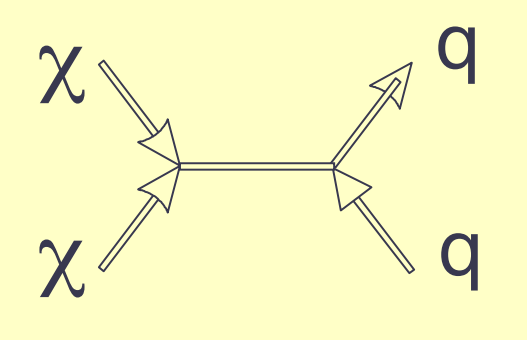
Annichilazione $\chi\chi \rightarrow \gamma\gamma$ gamma)



→ sarebbe chiara segnatura ad alte energie, ma: "loop suppressed"



- annichilazione $\chi\chi$ → qq → jets → n γ's
 - continuo di γ di bassa energia
 - segnatura più difficile, ma flusso maggiore

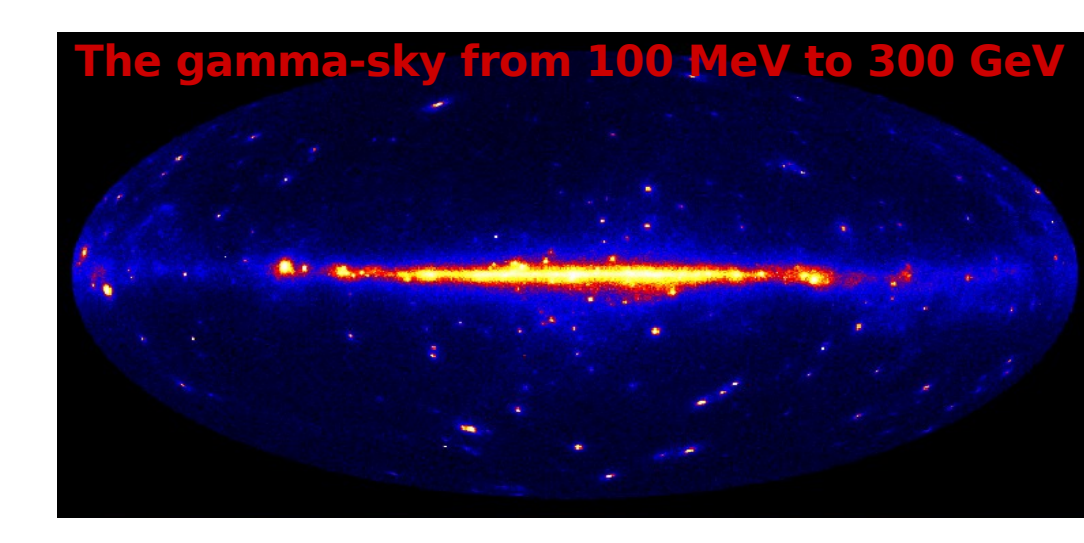


Regioni del cielo candidate per rivelare un possibile segnale di annichilazione

ZONA	VANTAGGI	DIFFICOLTÀ
CENTRO GALATTICO	Buona statistica	Incertezze dovute al fondo diffuso di RC
Galassie satelliti	Basso background e identificazione delle sorgenti buona	Bassa statistica
Alone Galattico	Buona statistica	Incertezza nella valutazione del fondo
Extragalatt ico	Buona statistica	Incertezze sul background
Righe spettrali	Nessuna incertezza astrofisica	Bassa statistica e risoluzione strument

L'osservatorio GLAST





Launch Vehicle 10H

Launch Location - Kennedy Space Center

Orbit Altitude

Orbit Inclination

Orbit Period

LAT mass

LAT power

- Delta II - 2920-

- 575 Km

- 28.5 degrees

- 95 Minutes

3000Kg

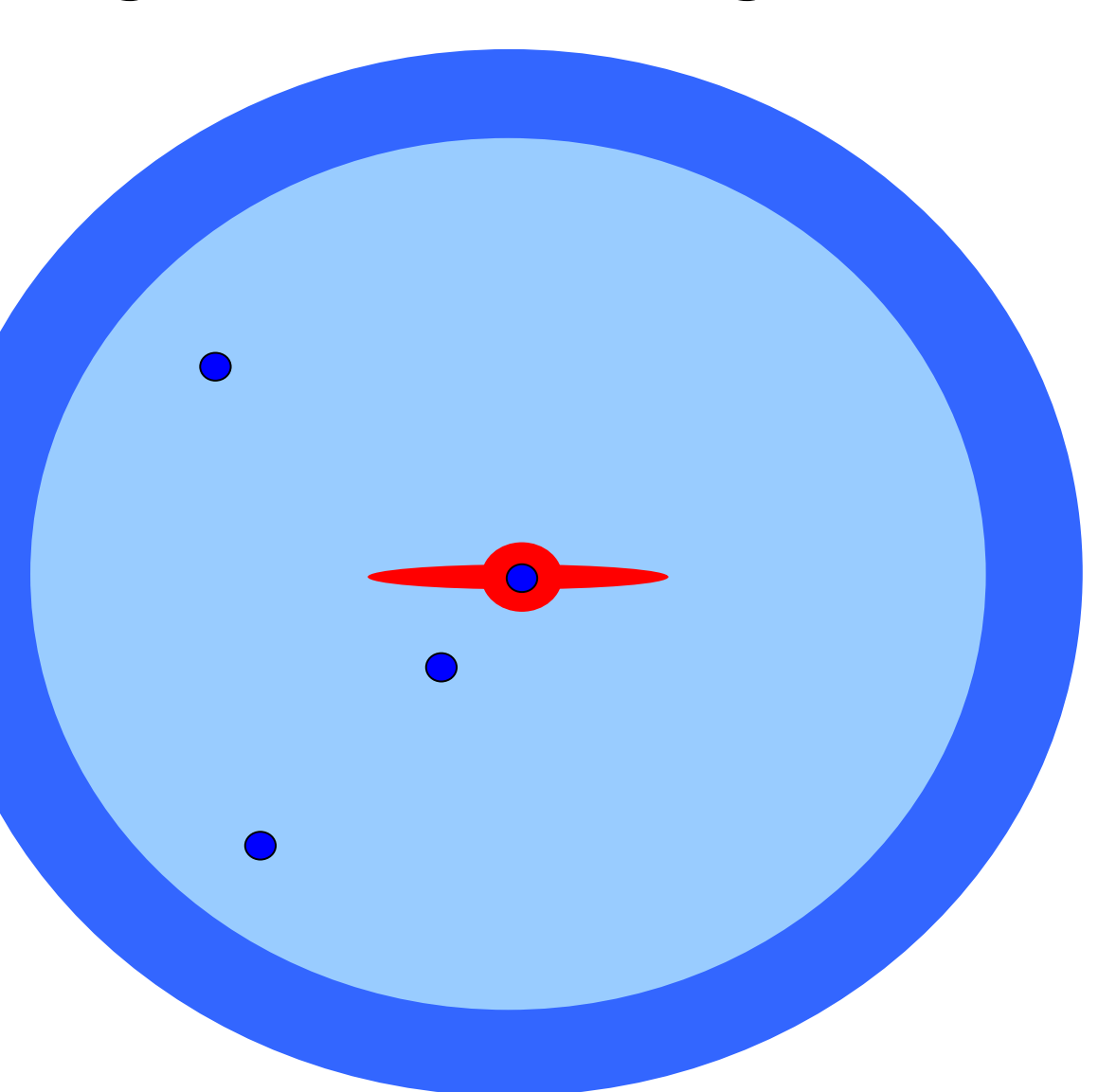
650W

Launch Date - Maggio 2008

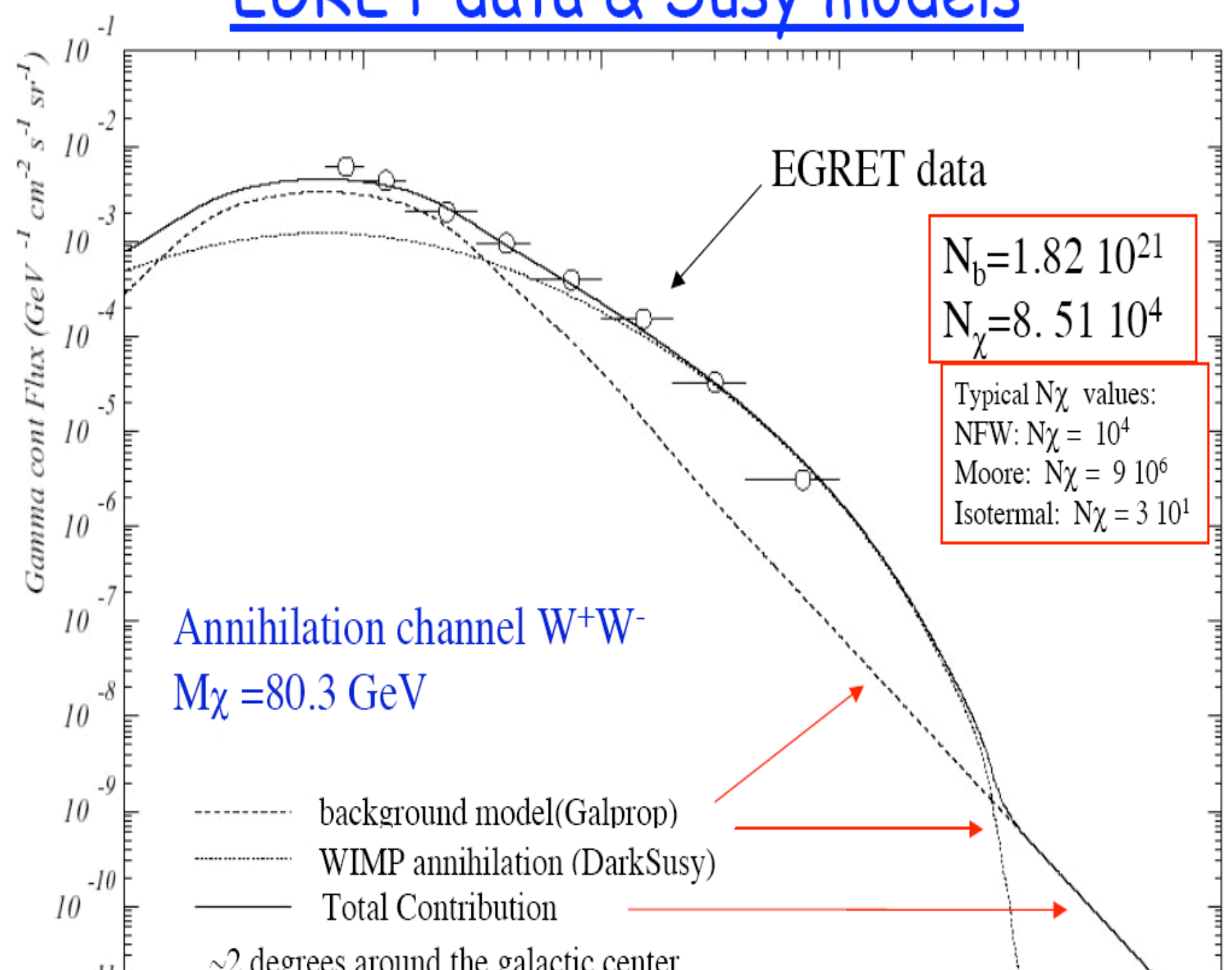
GLAST WIMPs: Regioni da investigare

Grazie alla buona risoluzione angolare ed energetica GLAST può confrontare lo spettro nelle direzione del cielo più promettenti:

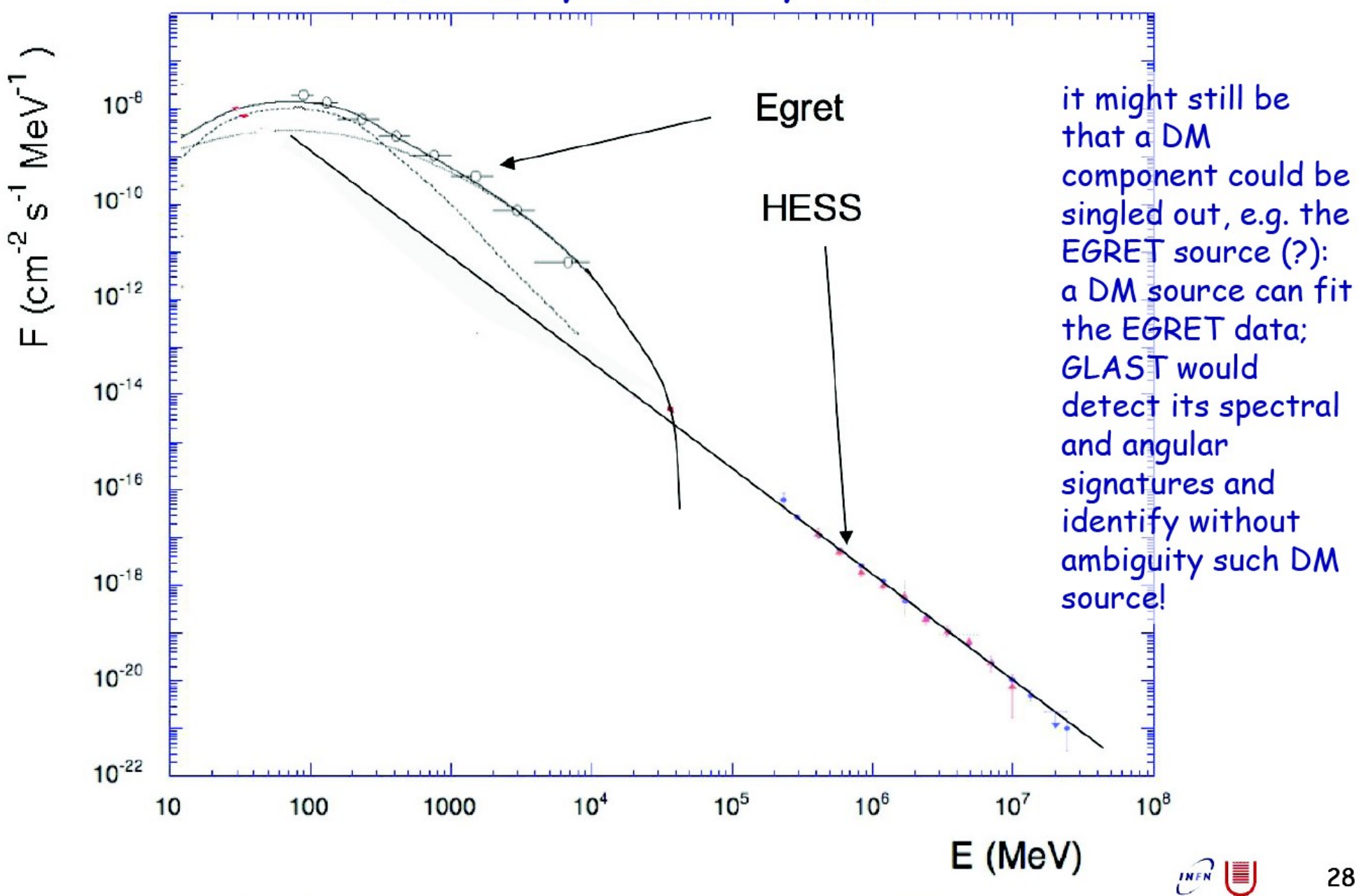
- Centro galattico
- Galassie satelliti
- Alone galattico
- Contributi
 Extra-galattici



EGRET data & Susy models

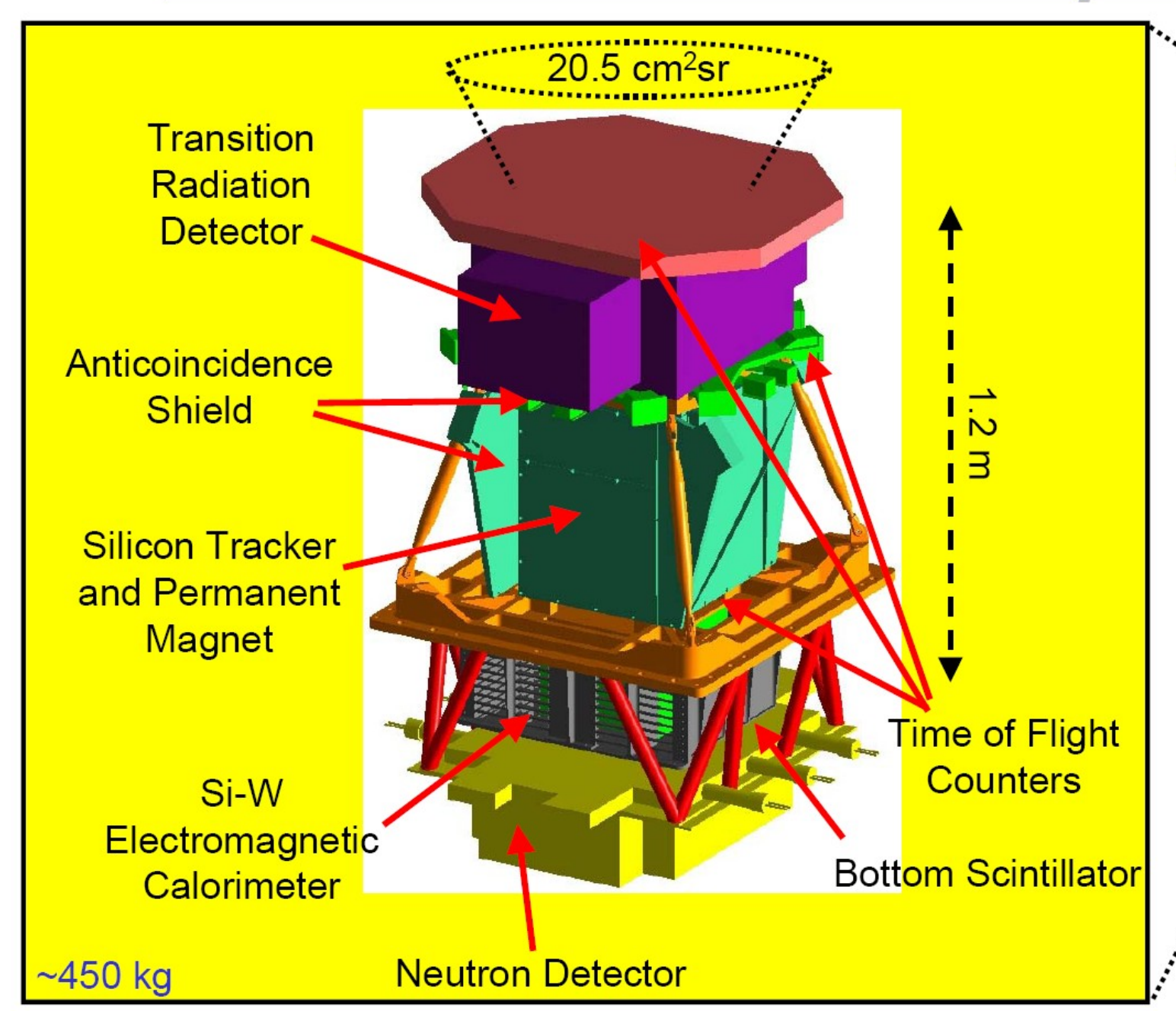


EGRET, GLAST, HESS



The PAMELA Satellite Experiment Pamela





Resurs Dk1 Satellite

PAMELA POSITRONS expectation

Secondary production

'Leaky box model'

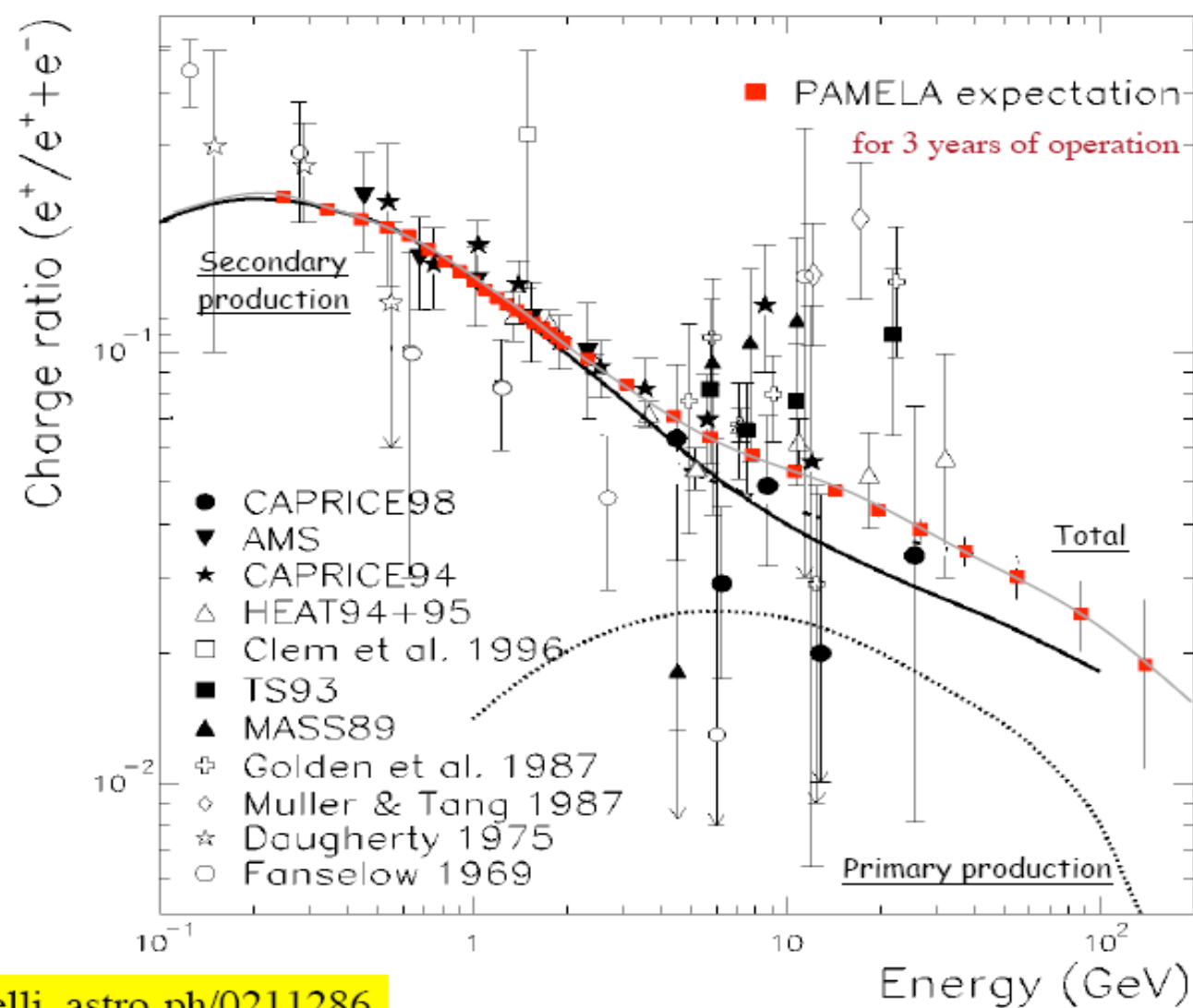
Secondary production 'Moskalenko + Strong model' without

reacceleration

Primary production

from χχ annihilation

 $(m(\chi) = 336 \text{ GeV})$



P. Picozza and A. Morselli, astro-ph/0211286

- Roque de Los Mucha es SCOPIO MAGIC - Emisfero settentrionale

efficace

- Isole Canarie 2200m sinude area

Telescopio Cerenkov

- 2001 Inizio costruzione

- 2003 Inaugurazione

- 2004 Ciclo I di osservazioni

- 2006 Ciclo II di osservazioni

Sensibilità di flusso

2.5% crab/50ora (10⁻¹¹ph/cm²/s)

Bassa soglia

50 GeV (trigger)

70-100 GeV

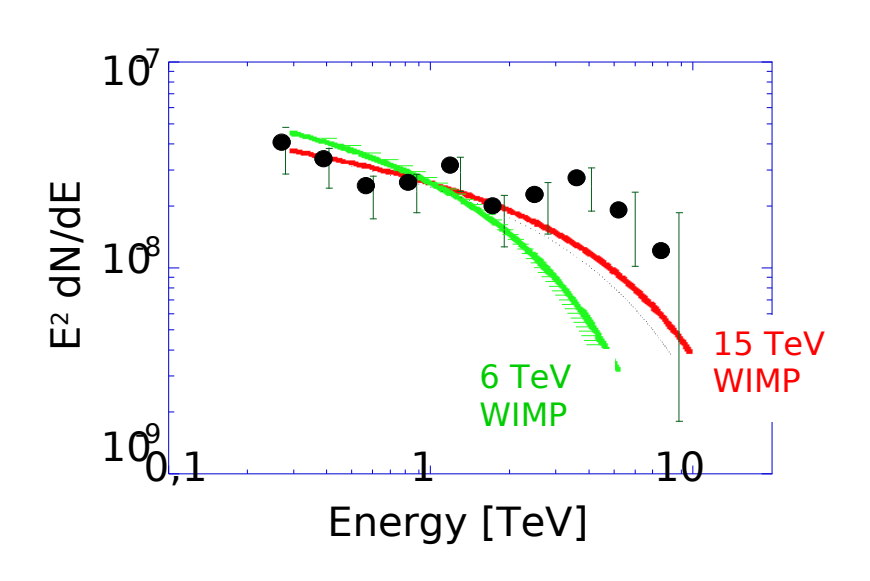
(analisi)

30% (100 GeV) 20% (1 TeV)





Magic: Osservazioni compiute Il centro galattico [ApJ Letters 638 L101 (2006)]



- •Il segnale è da associare ad una sorgente astrofisica:
 - Buco Nero Centrale SgrA*
 - SNR SgrA East
 - SNR G0.9+0.1
- Meccanismo di emissione sconosciuto

CONCLUSIONE

Seppure un segnale DM esiste è nascosto da sorgenti astrofisiche oppure è al di sotto della soglia

Il background è duro da considerare!

Conclusioni

- Abbiamo un insieme di esperimenti che a breve sono in grado di evidenziare un segnale dovuto alla DM
- Le possibili osservazioni potranno meglio chiarire la natura della DM ed il ruolo nell'evoluzione delle galassie
- Sono importanti le osservazioni secondo tutti i canali possibili e dal 2008 avremo una serie di esperimenti in osservazione in contemporanea